Multi-Cue-Ansatz für ein dynamisches Auffälligkeitssystem zur visuellen Personenlokalisation

Ulf-Dietrich Braumann

ulf@informatik.uni-leipzig.de www.informatik.uni-leipzig.de/~ulf

4. September 2001

- Interaktion zwischen Personen und mobilen Robotersystemen (MMI)
- Voraussetzung: Lokalisation von unpräparierten Personen in unpräparierten Umgebungen durch Verwendung eines Satzes von Auffälligkeitskomponenten (Cues)
- gestenbasierte Interaktion (Corradini 2000)
 - visuell-basierte Personenlokalisation

- Interaktion zwischen Personen und mobilen Robotersystemen (MMI)
- Voraussetzung: Lokalisation von unpräparierten Personen in unpräparierten Umgebungen durch Verwendung eines Satzes von Auffälligkeitskomponenten (Cues)
- gestenbasierte Interaktion (Corradini 2000)
 - visuell-basierte Personenlokalisation

- Interaktion zwischen Personen und mobilen Robotersystemen (MMI)
- Voraussetzung: Lokalisation von unpräparierten Personen in unpräparierten Umgebungen durch Verwendung eines Satzes von Auffälligkeitskomponenten (Cues)
- gestenbasierte Interaktion (Corradini 2000)
 - visuell-basierte Personenlokalisation

- Interaktion zwischen Personen und mobilen Robotersystemen (MMI)
- Voraussetzung: Lokalisation von unpräparierten Personen in unpräparierten Umgebungen durch Verwendung eines Satzes von Auffälligkeitskomponenten (Cues)
- gestenbasierte Interaktion (Corradini 2000)
 - visuell-basierte Personenlokalisation

- Interaktion zwischen Personen und mobilen Robotersystemen (MMI)
- Voraussetzung: Lokalisation von unpräparierten Personen in unpräparierten Umgebungen durch Verwendung eines Satzes von Auffälligkeitskomponenten (Cues)
- gestenbasierte Interaktion (Corradini 2000)
 - visuell-basierte Personenlokalisation

- Interaktion zwischen Personen und mobilen Robotersystemen (MMI)
- Voraussetzung: Lokalisation von unpräparierten Personen in unpräparierten Umgebungen durch Verwendung eines Satzes von Auffälligkeitskomponenten (Cues)
- gestenbasierte Interaktion (Corradini 2000)

Beispiele typischer Gesten:

Achtung/Hallo





nach links

nach rechts





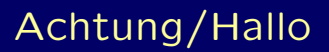








Beispiele typischer Gesten:





nach vorn links nach vorn rechts

nach links

nach rechts













Roboterplattformen:

MILVA







- ist ein spezielles Figure-Ground-Problem,
- erfordert eine hohe Robustheit,
- beinhaltet die Einbeziehung von Tiefeninformation,
- verlangt die Verarbeitung erheblicher Datenmengen

 → höchstmögliche Effizienz der Verfahren,
- weist nutzbare Einschränkungen der Komplexität auf (Personen aufrecht und frontal ausgerichtet),
- wird vom biol. visuellen Apparat solide beherrscht

- ist ein spezielles Figure-Ground-Problem,
- erfordert eine hohe Robustheit,
- beinhaltet die Einbeziehung von Tiefeninformation,
- verlangt die Verarbeitung erheblicher Datenmengen

 → höchstmögliche Effizienz der Verfahren,
- weist nutzbare Einschränkungen der Komplexität auf (Personen aufrecht und frontal ausgerichtet),
- wird vom biol. visuellen Apparat solide beherrscht

- ist ein spezielles Figure-Ground-Problem,
- erfordert eine hohe Robustheit,
- beinhaltet die Einbeziehung von Tiefeninformation,
- verlangt die Verarbeitung erheblicher Datenmengen

 → höchstmögliche Effizienz der Verfahren,
- weist nutzbare Einschränkungen der Komplexität auf (Personen aufrecht und frontal ausgerichtet),
- wird vom biol. visuellen Apparat solide beherrscht

- ist ein spezielles Figure-Ground-Problem,
- erfordert eine hohe Robustheit,
- beinhaltet die Einbeziehung von Tiefeninformation,
- verlangt die Verarbeitung erheblicher Datenmengen

 → höchstmögliche Effizienz der Verfahren,
- weist nutzbare Einschränkungen der Komplexität auf (Personen aufrecht und frontal ausgerichtet),
- wird vom biol. visuellen Apparat solide beherrscht

- ist ein spezielles Figure-Ground-Problem,
- erfordert eine hohe Robustheit,
- beinhaltet die Einbeziehung von Tiefeninformation,
- verlangt die Verarbeitung erheblicher Datenmengen

 → höchstmögliche Effizienz der Verfahren,
- weist nutzbare Einschränkungen der Komplexität auf (Personen aufrecht und frontal ausgerichtet),
- wird vom biol. visuellen Apparat solide beherrscht

- ist ein spezielles Figure-Ground-Problem,
- erfordert eine hohe Robustheit,
- beinhaltet die Einbeziehung von Tiefeninformation,
- verlangt die Verarbeitung erheblicher Datenmengen

 → höchstmögliche Effizienz der Verfahren,
- weist nutzbare Einschränkungen der Komplexität auf (Personen aufrecht und frontal ausgerichtet),
- wird vom biol. visuellen Apparat solide beherrscht

- ist ein spezielles Figure-Ground-Problem,
- erfordert eine hohe Robustheit,
- beinhaltet die Einbeziehung von Tiefeninformation,
- verlangt die Verarbeitung erheblicher Datenmengen

 → höchstmögliche Effizienz der Verfahren,
- weist nutzbare Einschränkungen der Komplexität auf (Personen aufrecht und frontal ausgerichtet),
- wird vom biol. visuellen Apparat solide beherrscht

Bekannte prinzipielle Ansätze:

Personenlokalisation

unimodal
mit Hautfarbmodellen, anhand der
Körpersilhouette, durch aktive Körpermodellierung
(elliptische Farbsegmente), mit elastischem GraphMatching zur Gesichtsdetektion

multimodal
 durch audio-visuelle Fusion ("Talking Face"), durch
 (z. T. kausale) Fusion von Hautfarb- und anderen

Cues, z. B. Bewegungsmustern, Silhouetten

Bekannte prinzipielle Ansätze:

Personenlokalisation

unimodal
mit Hautfarbmodellen, anhand der
Körpersilhouette, durch aktive Körpermodellierung
(elliptische Farbsegmente), mit elastischem GraphMatching zur Gesichtsdetektion

multimodal

durch audio-visuelle Fusion ("Talking Face"), durch (z. T. kausale) Fusion von Hautfarb- und anderen Cues, z. B. Bewegungsmustern, Silhouetten

Bekannte prinzipielle Ansätze:

Personenlokalisation

unimodal

mit Hautfarbmodellen, anhand der Körpersilhouette, durch aktive Körpermodellierung (elliptische Farbsegmente), mit elastischem Graph-Matching zur Gesichtsdetektion

multimodal

durch audio-visuelle Fusion ("Talking Face"), durch (z. T. kausale) Fusion von Hautfarb- und anderen Cues, z. B. Bewegungsmustern, Silhouetten

Gegenstand der Arbeit:

Entwicklung und Bereitstellung

 eines leistungsfähigen neuartigen Multi-Cue-(Mehrkomponenten)-Ansatzes zur dynamischen Bildung eines multiplen visuellen Auffälligkeitsmaßes für die visuelle Personenlokalisation als Basiskomponente zur visuellen Szenenanalyse eines autonomen mobilen Robotersystems.

Gegenstand der Arbeit:

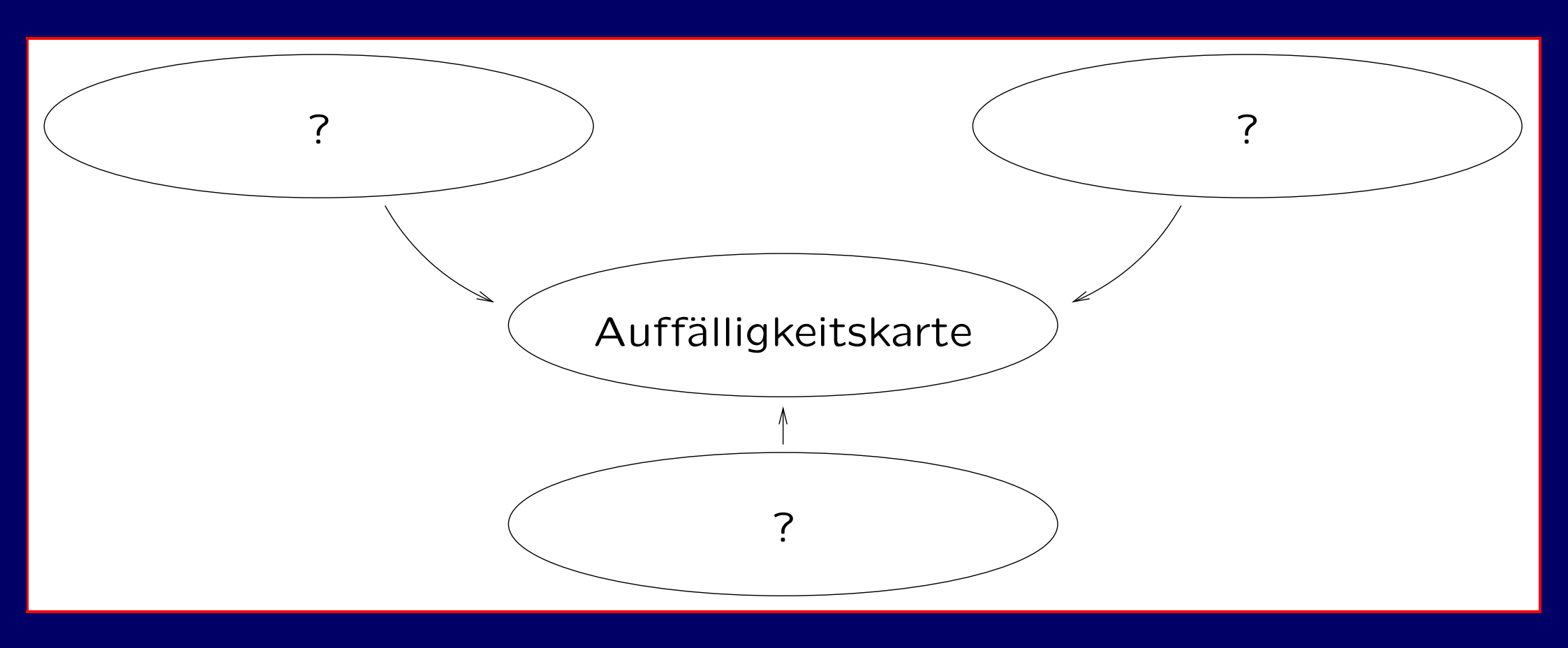
Entwicklung und Bereitstellung

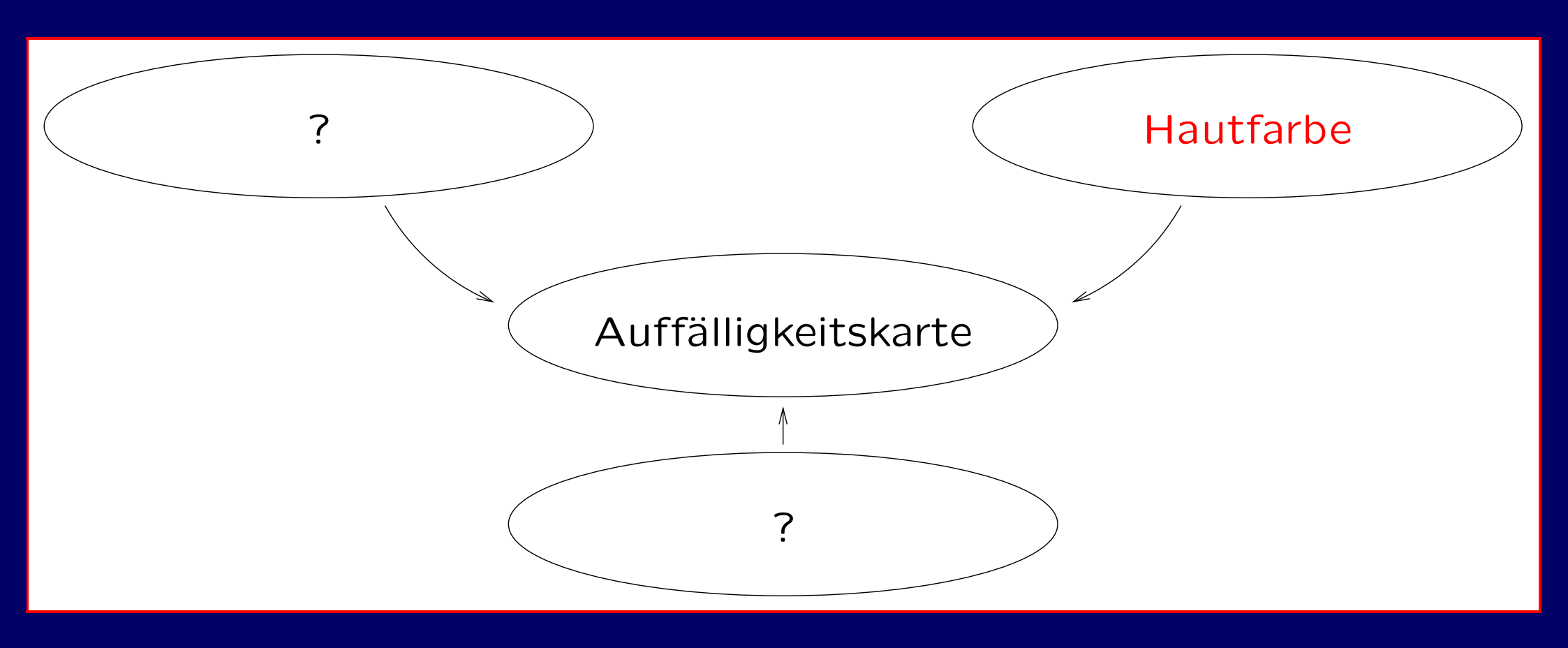
 eines leistungsfähigen neuartigen Multi-Cue-(Mehrkomponenten)-Ansatzes zur dynamischen Bildung eines multiplen visuellen Auffälligkeitsmaßes für die visuelle Personenlokalisation als Basiskomponente zur visuellen Szenenanalyse eines autonomen mobilen Robotersystems.

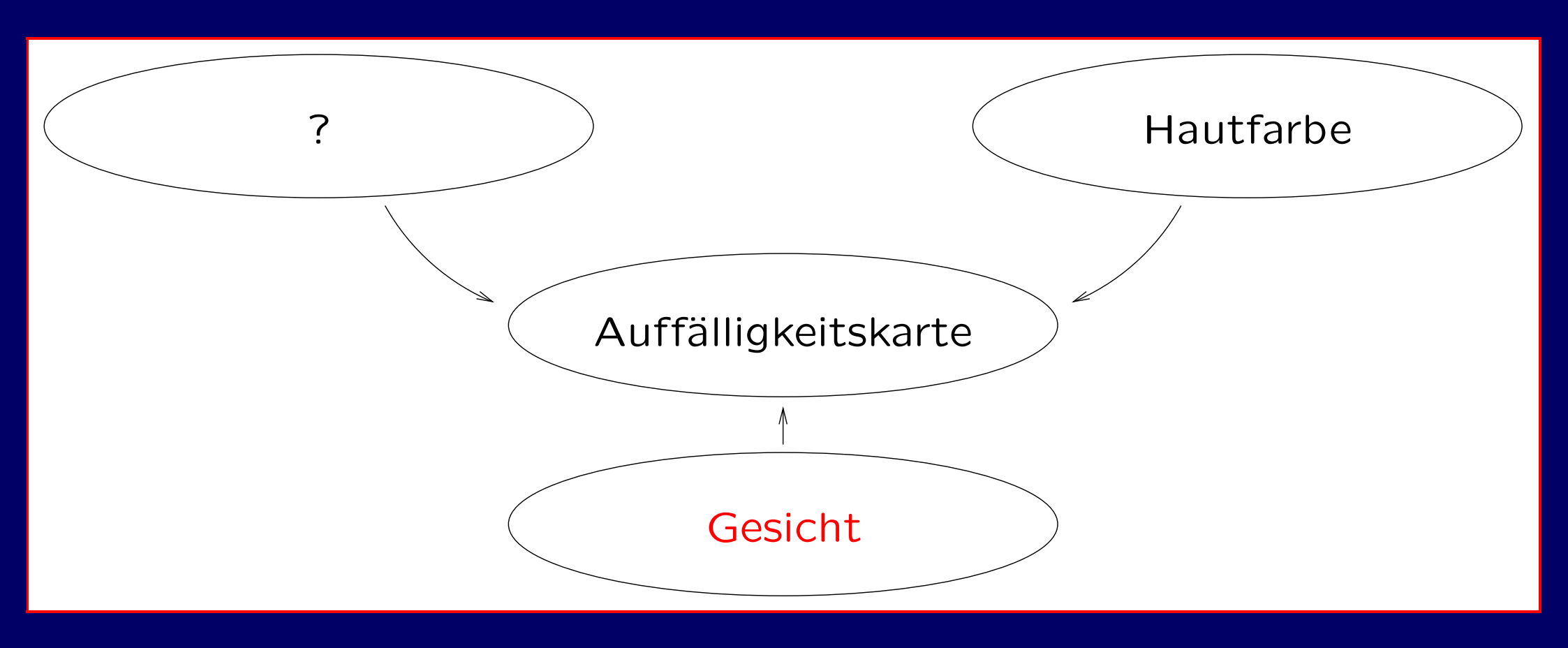
Gegenstand der Arbeit:

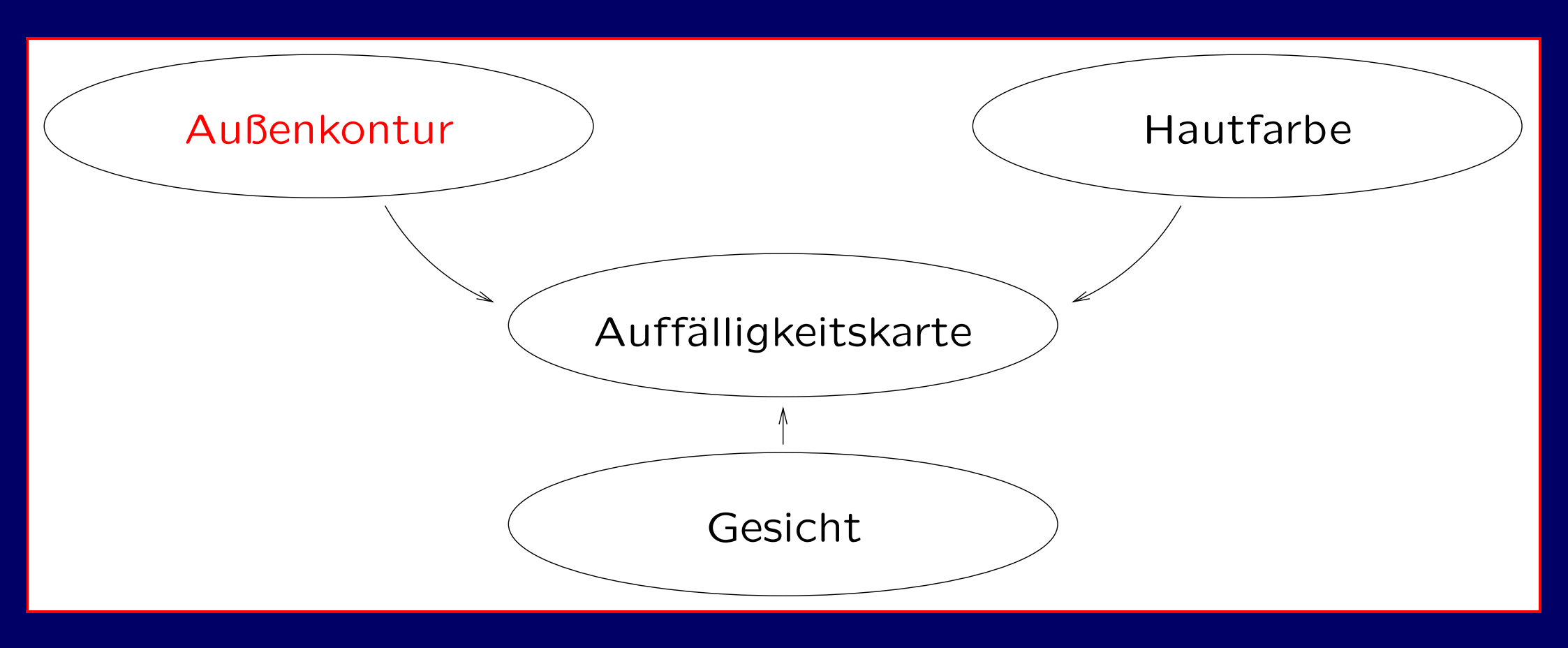
Entwicklung und Bereitstellung

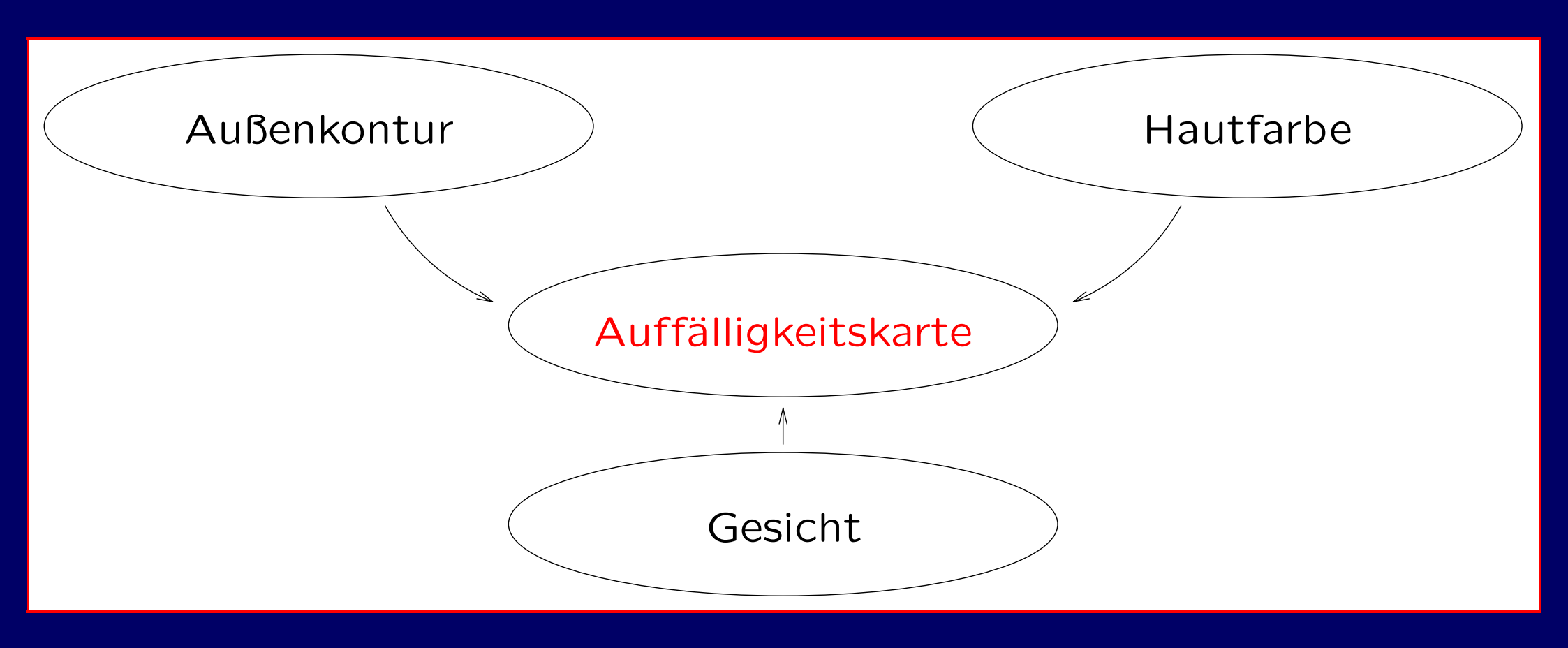
 eines leistungsfähigen neuartigen Multi-Cue-(Mehrkomponenten)-Ansatzes zur dynamischen Bildung eines multiplen visuellen Auffälligkeitsmaßes für die visuelle Personenlokalisation als Basiskomponente zur visuellen Szenenanalyse eines autonomen mobilen Robotersystems.

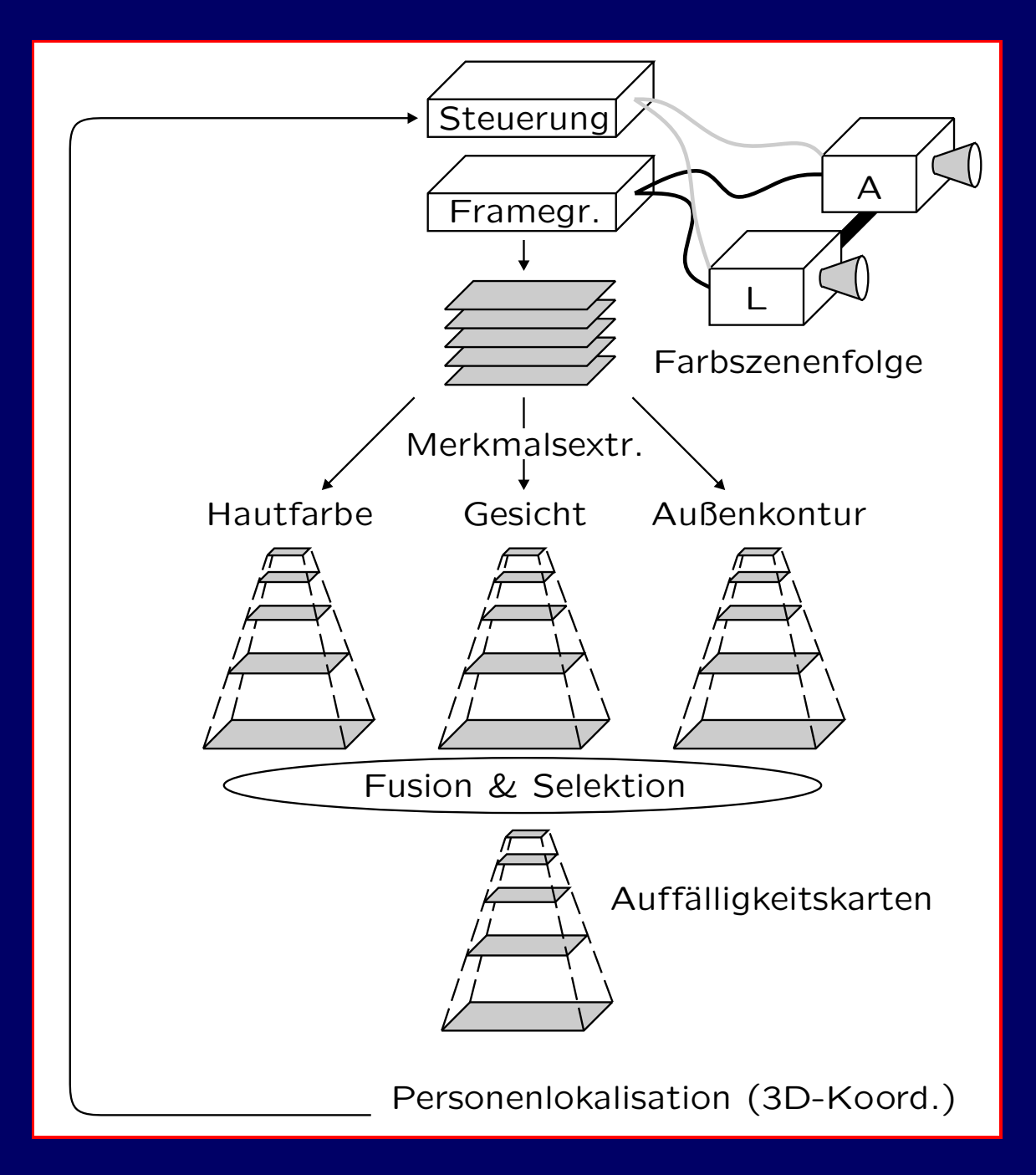












Verarbeitungsablauf:

von der Bildaufnahme

über Merkmalsextraktion

und -fusion

bis hin zur Personenlokalisation

- 1. Motivation
- 2. Pyramidale Repräsentation als Basiskonzept
- 3. Hautfarbdetektion
- 4. Gesichtsdetektion
- 5. Konturdetektion
- 6. Personenlokalisation
- 7. Abschluß

- 1. Motivation
- 2. Pyramidale Repräsentation als Basiskonzept
- 3. Hautfarbdetektion
- 4. Gesichtsdetektion
- 5. Konturdetektion
- 6. Personenlokalisation
- 7. Abschluß

- 1. Motivation
- 2. Pyramidale Repräsentation als Basiskonzept
- 3. Hautfarbdetektion
- 4. Gesichtsdetektion
- 5. Konturdetektion
- 6. Personenlokalisation
- 7. Abschluß

- 1. Motivation
- 2. Pyramidale Repräsentation als Basiskonzept
- 3. Hautfarbdetektion
- 4. Gesichtsdetektion
- 5. Konturdetektion
- 6. Personenlokalisation
- 7. Abschluß

- 1. Motivation
- 2. Pyramidale Repräsentation als Basiskonzept
- 3. Hautfarbdetektion
- 4. Gesichtsdetektion
- 5. Konturdetektion
- 6. Personenlokalisation
- 7. Abschluß

- 1. Motivation
- 2. Pyramidale Repräsentation als Basiskonzept
- 3. Hautfarbdetektion
- 4. Gesichtsdetektion
- 5. Konturdetektion
- 6. Personenlokalisation
- 7. Abschluß

2 Pyramidale Repräsentation als Basiskonzept

- Einbeziehung einer Entfernungsschätzung in die Personenlokalisation durch den Einsatz von Auflösungspyramiden:
- → unveränderte Operatoren können direkt auf ortsfrequenzmäßig begrenzte und skalierte Bildinstanzen angewendet werden (z. B. Rosenfeld 1984)

- Einbeziehung einer Entfernungsschätzung in die Personenlokalisation durch den Einsatz von Auflösungspyramiden:
- → unveränderte Operatoren können direkt auf ortsfrequenzmäßig begrenzte und skalierte Bildinstanzen angewendet werden (z. B. Rosenfeld 1984)

- Einbeziehung einer Entfernungsschätzung in die Personenlokalisation durch den Einsatz von Auflösungspyramiden:
- → unveränderte Operatoren können direkt auf ortsfrequenzmäßig begrenzte und skalierte Bildinstanzen angewendet werden (z. B. Rosenfeld 1984)

- Einbeziehung einer Entfernungsschätzung in die Personenlokalisation durch den Einsatz von Auflösungspyramiden:
- → unveränderte Operatoren können direkt auf ortsfrequenzmäßig begrenzte und skalierte Bildinstanzen angewendet werden (z. B. Rosenfeld 1984)

Auflösungsstufen im Halboktavabstand ($s = 2^{-\frac{1}{2}}$):



theoretisch maximal mögliche Datensatzvergrößerung:

 256×256

 181×181

 128×128

 91×91

 64×64

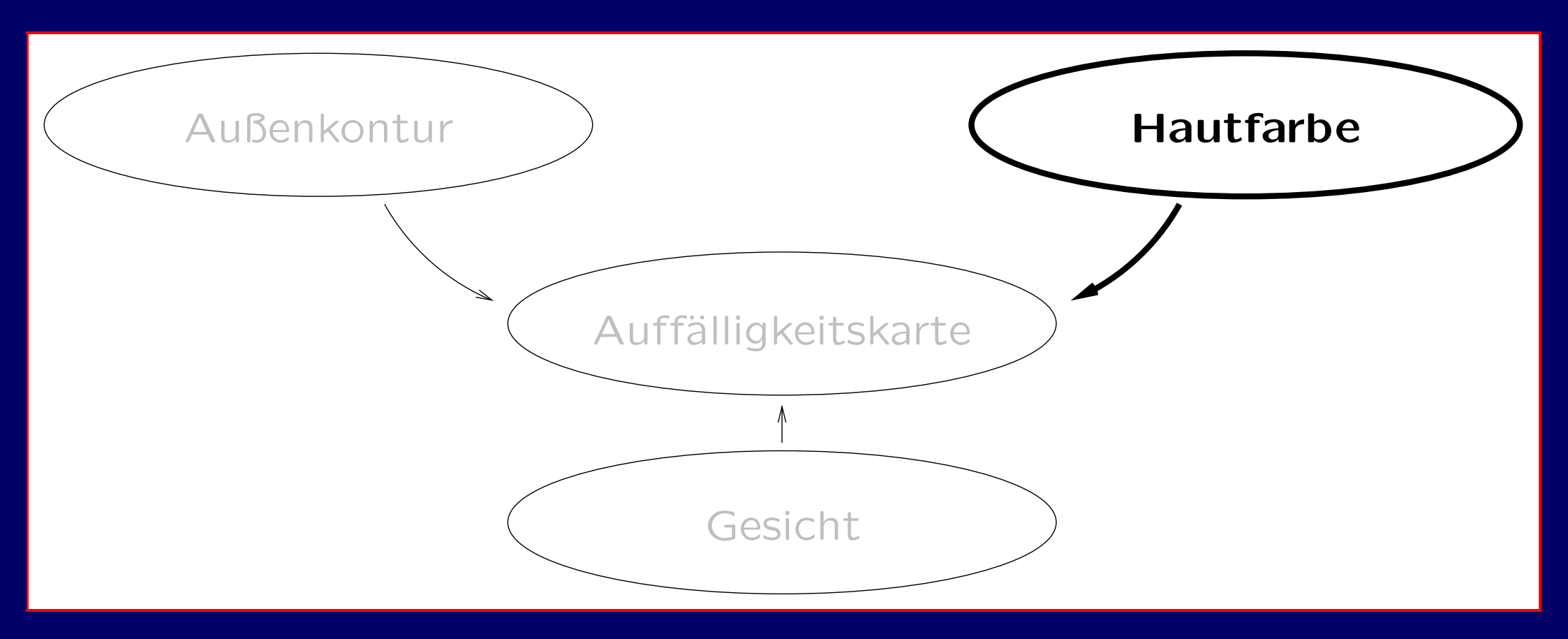












Zielstellung:

 Personenlokalisation anhand sichtbarer Hautpartien unter Nutzung eines Hautfarbmodells

Zielstellung:

 Personenlokalisation anhand sichtbarer Hautpartien unter Nutzung eines Hautfarbmodells

Zielstellung:

 Personenlokalisation anhand sichtbarer Hautpartien unter Nutzung eines Hautfarbmodells

Merkmalsraum:

• Farbwertanteile r und g basierend auf $RGB_{\mathsf{EBU}} ext{-}\mathsf{Farbraum}$

•
$$r = \frac{R}{R + G + B}$$
 und $g = \frac{G}{R + G + B}$

reduzierte Spezifität, Intensitätsunabhängigkeit

Merkmalsraum:

• Farbwertanteile r und g basierend auf $RGB_{\mathsf{FBU}} ext{-}\mathsf{Farbraum}$

•
$$r = \frac{R}{R + G + B}$$
 und $g = \frac{G}{R + G + B}$

reduzierte Spezifität, Intensitätsunabhängigkeit

Merkmalsraum:

• Farbwertanteile r und g basierend auf $RGB_{\mathsf{EBU}} ext{-}\mathsf{Farbraum}$

•
$$r = \frac{R}{R + G + B}$$
 und $g = \frac{G}{R + G + B}$

reduzierte Spezifität, Intensitätsunabhängigkeit

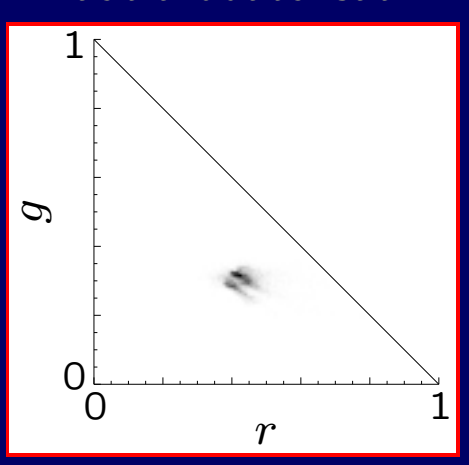
Merkmalsraum:

• Farbwertanteile r und g basierend auf $RGB_{\mathsf{EBU}} ext{-}\mathsf{Farbraum}$

•
$$r = \frac{R}{R + G + B}$$
 und $g = \frac{G}{R + G + B}$

reduzierte Spezifität, Intensitätsunabhängigkeit

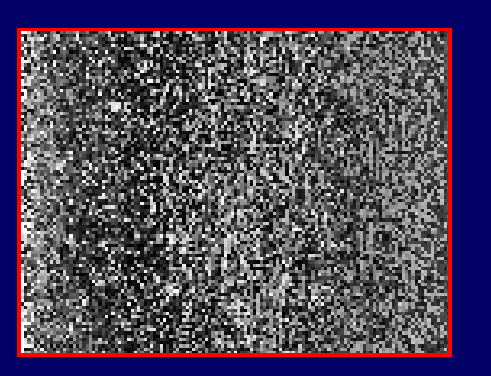
Hautfarbdatensatz



Hautfarbdatensatz



Klassifikationsergebnis



Gewinnung von Hautfarbdaten:

- Farbkonstanzleistung nur teilweise zufriedenstellend
- Datengewinnung aus exemplarischen Bildern unter
 Tageslicht verschiedener Stadien sowie unter
 Halogenlicht

Gewinnung von Hautfarbdaten:

- Farbkonstanzleistung nur teilweise zufriedenstellend
- Datengewinnung aus exemplarischen Bildern unter Tageslicht verschiedener Stadien sowie unter Halogenlicht

Gewinnung von Hautfarbdaten:

- Farbkonstanzleistung nur teilweise zufriedenstellend
- Datengewinnung aus exemplarischen Bildern unter Tageslicht verschiedener Stadien sowie unter Halogenlicht

- Growing Neural Gas (Brakensiek et al. 1997)
- multimodaler Normalverteilungsklassifikator (Littmann & Ritter 1997)
- Farbanteilshistogramme (Hunke 1994)
- unimodaler Normalverteilungsklassifikator
 (Yang et al. 1997)

- Growing Neural Gas (Brakensiek et al. 1997)
- multimodaler Normalverteilungsklassifikator
 (Littmann & Ritter 1997)
- Farbanteilshistogramme (Hunke 1994)
- unimodaler Normalverteilungsklassifikator
 (Yang et al. 1997)

- Growing Neural Gas (Brakensiek et al. 1997)
- multimodaler Normalverteilungsklassifikator (Littmann & Ritter 1997)
- Farbanteilshistogramme (Hunke 1994)
- unimodaler Normalverteilungsklassifikator
 (Yang et al. 1997)

- Growing Neural Gas (Brakensiek et al. 1997)
- multimodaler Normalverteilungsklassifikator (Littmann & Ritter 1997)
- Farbanteilshistogramme (Hunke 1994)
- unimodaler Normalverteilungsklassifikator
 (Yang et al. 1997)

- Growing Neural Gas (Brakensiek et al. 1997)
- multimodaler Normalverteilungsklassifikator (Littmann & Ritter 1997)
- Farbanteilshistogramme (Hunke 1994)
- unimodaler Normalverteilungsklassifikator (Yang et al. 1997)

- Merkmalsraum: rg-Farbwertanteilsebene
- geschlossene Beschreibung mit sechs Parametern

•
$$p_{H_{jk}} = \exp\left(-\frac{1}{2a}(\underline{i}_{jk} - \underline{\mu})^{\top}\underline{\mathbf{C}}^{-1}(\underline{i}_{jk} - \underline{\mu})\right)$$

- Merkmalsraum: rg-Farbwertanteilsebene
- geschlossene Beschreibung mit sechs Parametern

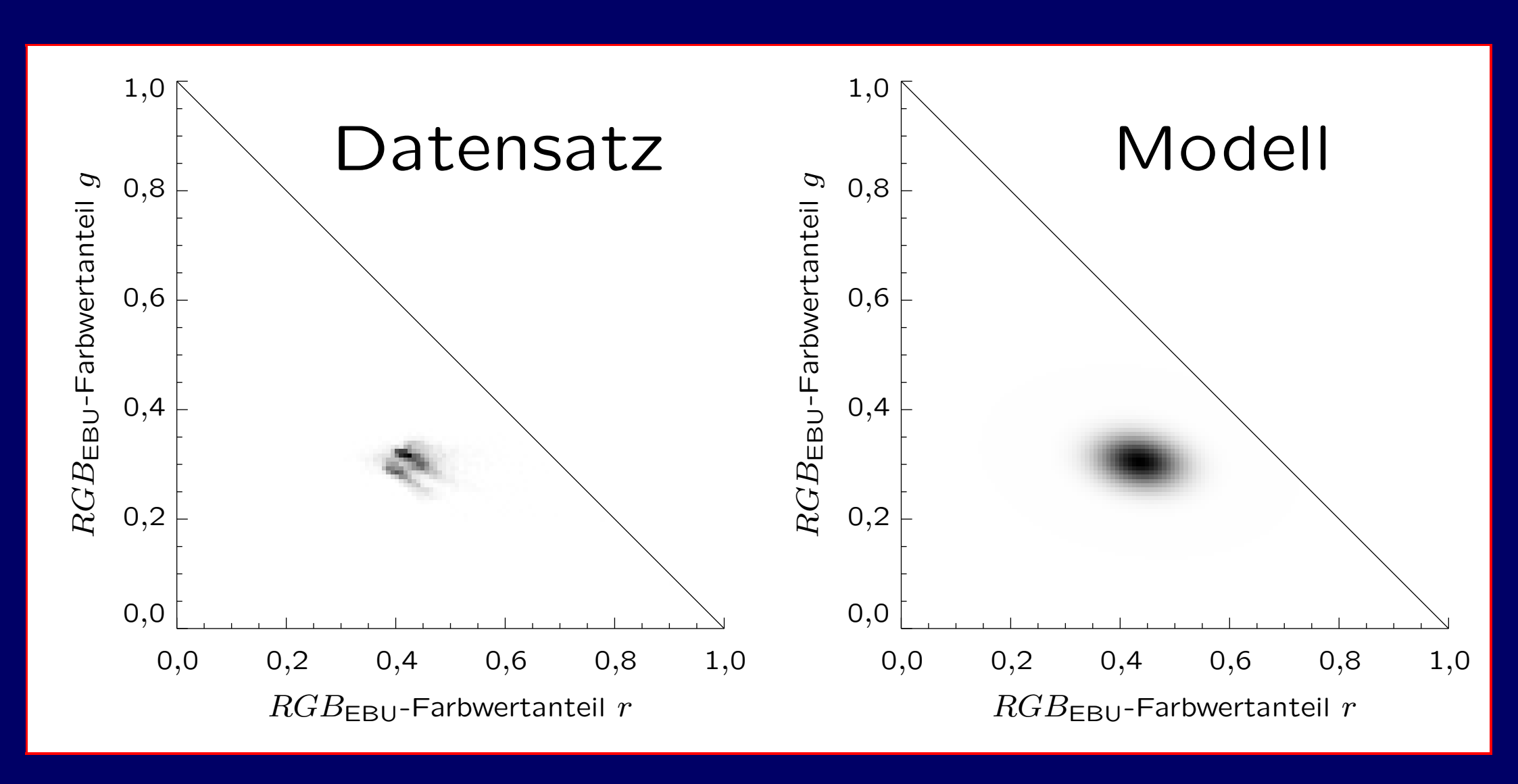
•
$$p_{H_{jk}} = \exp\left(-\frac{1}{2a}(\underline{i}_{jk} - \underline{\mu})^{\top}\underline{\mathbf{C}}^{-1}(\underline{i}_{jk} - \underline{\mu})\right)$$

- Merkmalsraum: rg-Farbwertanteilsebene
- geschlossene Beschreibung mit sechs Parametern

•
$$p_{H_{jk}} = \exp\left(-\frac{1}{2a}(\underline{i}_{jk} - \underline{\mu})^{\top}\underline{\mathbf{C}}^{-1}(\underline{i}_{jk} - \underline{\mu})\right)$$

- Merkmalsraum: rg-Farbwertanteilsebene
- geschlossene Beschreibung mit sechs Parametern

•
$$p_{H_{jk}} = \exp\left(-\frac{1}{2a}(\underline{i}_{jk} - \underline{\mu})^{\top}\underline{\mathbf{C}}^{-1}(\underline{i}_{jk} - \underline{\mu})\right)$$



Beispielergebnisse:

Tageslicht Halogenbeleuchtung Tagesl. & Leuchtstoffbel.

Résumé:

- einfacher Ansatz
- schnelle Berechnung
- hinreichende Spezifität
- ¬ akzeptable Resultate

Résumé:

- einfacher Ansatz
- schnelle Berechnung
- hinreichende Spezifität
- ¬ akzeptable Resultate

Résumé:

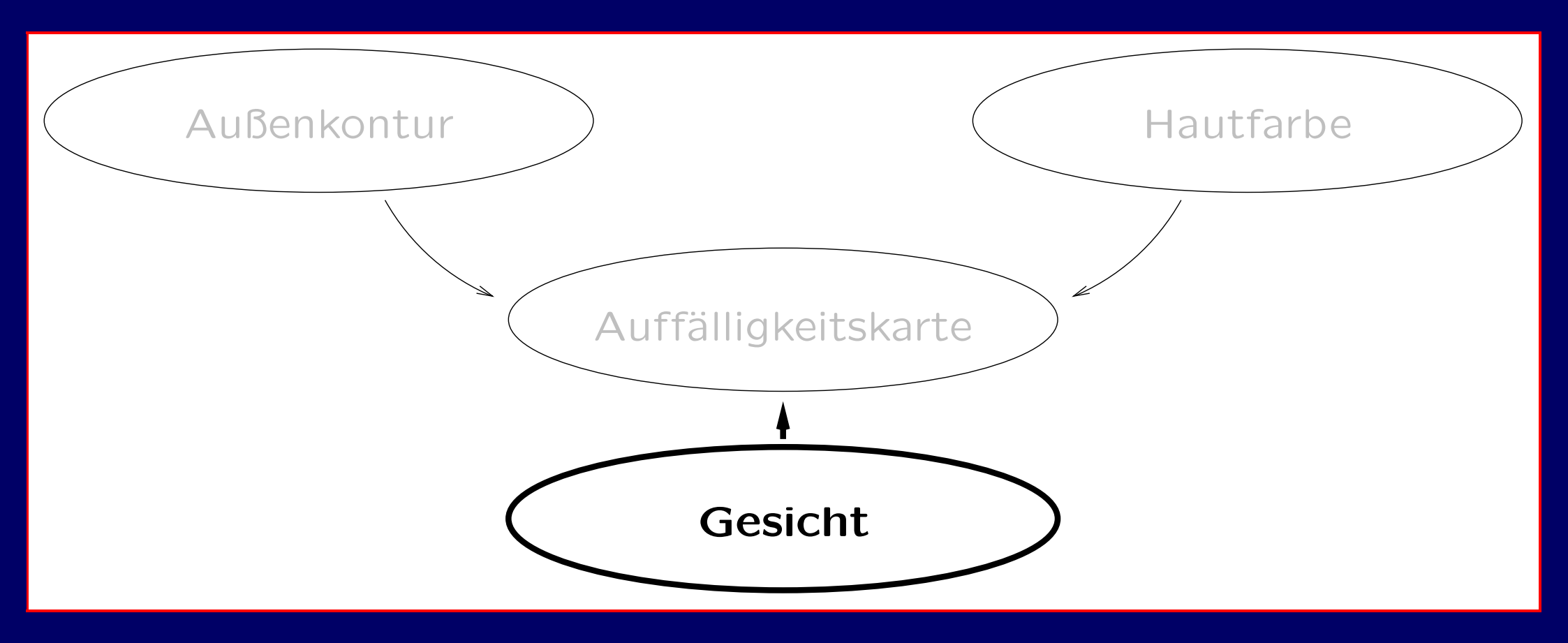
- einfacher Ansatz
- schnelle Berechnung
- hinreichende Spezifität
- ¬ akzeptable Resultate

Résumé:

- einfacher Ansatz
- schnelle Berechnung
- hinreichende Spezifität
- ¬ akzeptable Resultate

Résumé:

- einfacher Ansatz
- schnelle Berechnung
- hinreichende Spezifität
- ¬ akzeptable Resultate



Zielstellung:

Personenlokalisation anhand aufrechter frontaler
 Gesichtsmuster unter Nutzung gesichtsspezifischer
 Filter

Zielstellung:

Personenlokalisation anhand aufrechter frontaler
 Gesichtsmuster unter Nutzung gesichtsspezifischer
 Filter

Zielstellung:

Personenlokalisation anhand aufrechter frontaler
 Gesichtsmuster unter Nutzung gesichtsspezifischer
 Filter

- Eigenfaces (Turk & Pentland 1991)
 - → Satz eigenwertgrößter Eigenvektoren
- elastisches Graph-Matching (v. d. Malsburg et al. 1997)
 - → Merkmalsvektoren "Gabor-Jets"
 - → flexible Graphenstruktur
- ⇒ Hancock, Bruce & Burton 1998: umfassende Modellierung der Wahrnehmung von Gesichtern nur mit beiden Ansätzen!

- Eigenfaces (Turk & Pentland 1991)
 - → Satz eigenwertgrößter Eigenvektoren
- elastisches Graph-Matching (v. d. Malsburg et al. 1997)
 - → Merkmalsvektoren "Gabor-Jets"
 - → flexible Graphenstruktur
- ⇒ Hancock, Bruce & Burton 1998: umfassende Modellierung der Wahrnehmung von Gesichtern nur mit beiden Ansätzen!

- Eigenfaces (Turk & Pentland 1991)
 - → Satz eigenwertgrößter Eigenvektoren
- elastisches Graph-Matching (v. d. Malsburg et al. 1997)
 - → Merkmalsvektoren "Gabor-Jets"
 - → flexible Graphenstruktur
- ⇒ Hancock, Bruce & Burton 1998: umfassende Modellierung der Wahrnehmung von Gesichtern nur mit beiden Ansätzen!

- Eigenfaces (Turk & Pentland 1991)
 - → Satz eigenwertgrößter Eigenvektoren
- elastisches Graph-Matching (v. d. Malsburg et al. 1997)
 - → Merkmalsvektoren "Gabor-Jets"
 - → flexible Graphenstruktur
- ⇒ Hancock, Bruce & Burton 1998: umfassende Modellierung der Wahrnehmung von Gesichtern nur mit beiden Ansätzen!

Eigenfaces und Graph-Matching:

- sehr berechnungsaufwendig
- z. T. Einsatz von Parallelrechentechnik möglich, aber implementatorische Einschränkungen

Eigenfaces und Graph-Matching:

- sehr berechnungsaufwendig
- z. T. Einsatz von Parallelrechentechnik möglich, aber implementatorische Einschränkungen

Eigenfaces und Graph-Matching:

- sehr berechnungsaufwendig
- z. T. Einsatz von Parallelrechentechnik möglich, aber implementatorische Einschränkungen

Eigenfaces und Graph-Matching:

- sehr berechnungsaufwendig
- z. T. Einsatz von Parallelrechentechnik möglich, aber implementatorische Einschränkungen

- für Universalhardware, ohne mehrfache Faltungen
- Ansatz: einfache Cosinusmetrik normierter Vektoren, zusätzliche Artefaktunterdrückung

Eigenfaces und Graph-Matching:

- sehr berechnungsaufwendig
- z. T. Einsatz von Parallelrechentechnik möglich, aber implementatorische Einschränkungen

- für Universalhardware, ohne mehrfache Faltungen
- Ansatz: einfache Cosinusmetrik normierter Vektoren, zusätzliche Artefaktunterdrückung

Eigenfaces und Graph-Matching:

- sehr berechnungsaufwendig
- z. T. Einsatz von Parallelrechentechnik möglich, aber implementatorische Einschränkungen

- für Universalhardware, ohne mehrfache Faltungen
- Ansatz: einfache Cosinusmetrik normierter Vektoren, zusätzliche Artefaktunterdrückung

Eigenfaces und Graph-Matching:

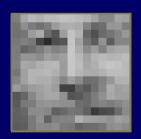
- sehr berechnungsaufwendig
- z. T. Einsatz von Parallelrechentechnik möglich, aber implementatorische Einschränkungen

- für Universalhardware, ohne mehrfache Faltungen
- Ansatz: einfache Cosinusmetrik normierter Vektoren, zusätzliche Artefaktunterdrückung

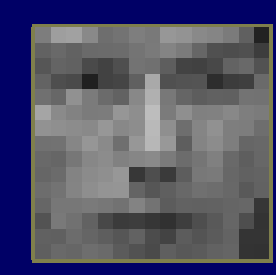
- Vektoren aus dem \mathbb{R}^{N^2} (N=15)
- 87 Prototypen aus der ORL Database of Faces
- Beispiele:

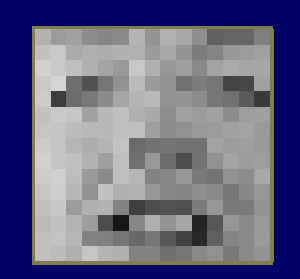


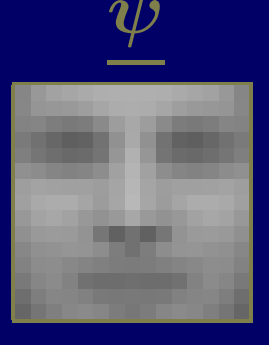








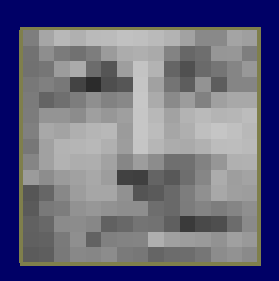


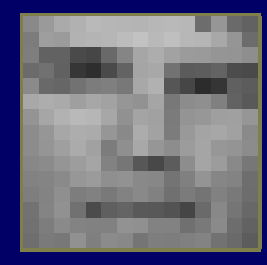


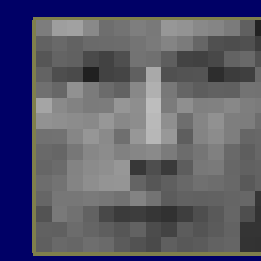
- Vektoren aus dem \mathbb{R}^{N^2} (N=15)
- 87 Prototypen aus der ORL Database of Faces
- Beispiele:

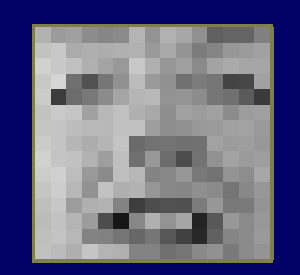


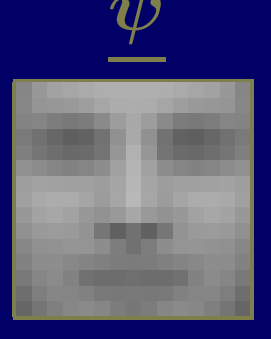








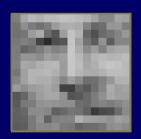


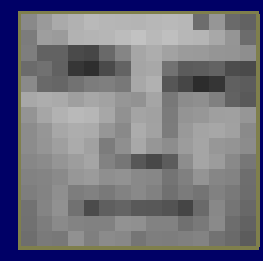


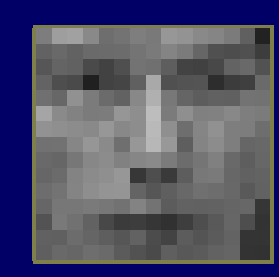
- Vektoren aus dem \mathbb{R}^{N^2} (N=15)
- 87 Prototypen aus der ORL Database of Faces
- Beispiele:

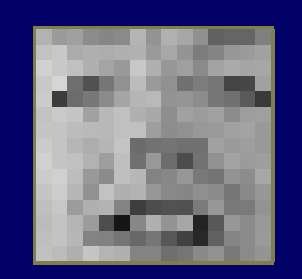


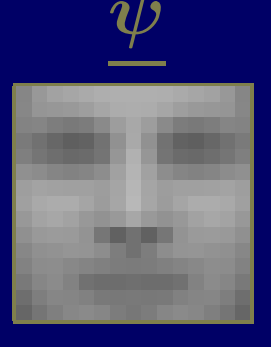




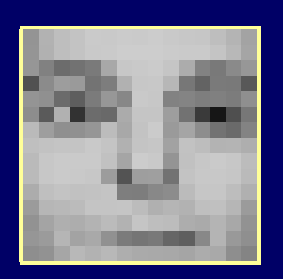




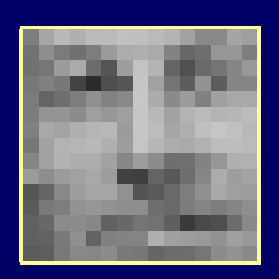




- Vektoren aus dem \mathbb{R}^{N^2} (N=15)
- 87 Prototypen aus der ORL Database of Faces
- Beispiele:

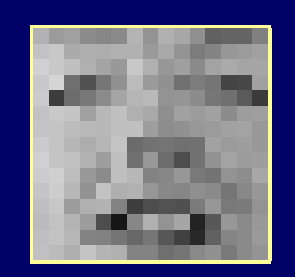


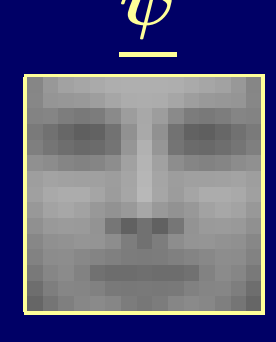




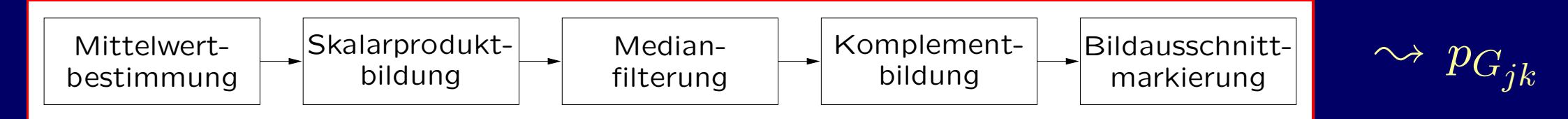




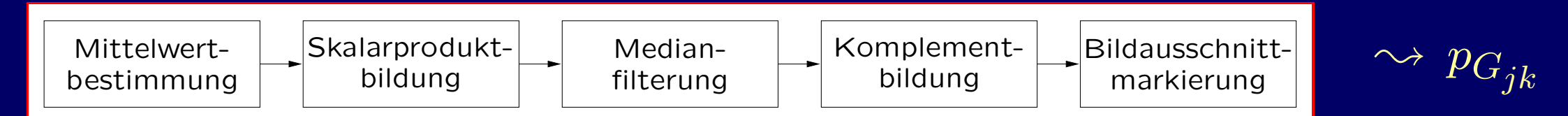




Schritte:



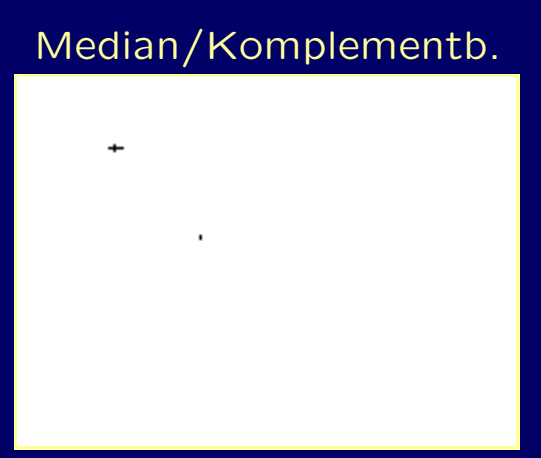
Schritte:

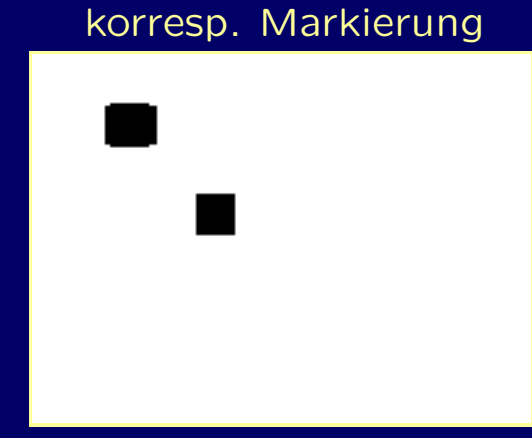


Beispielergebnisse:

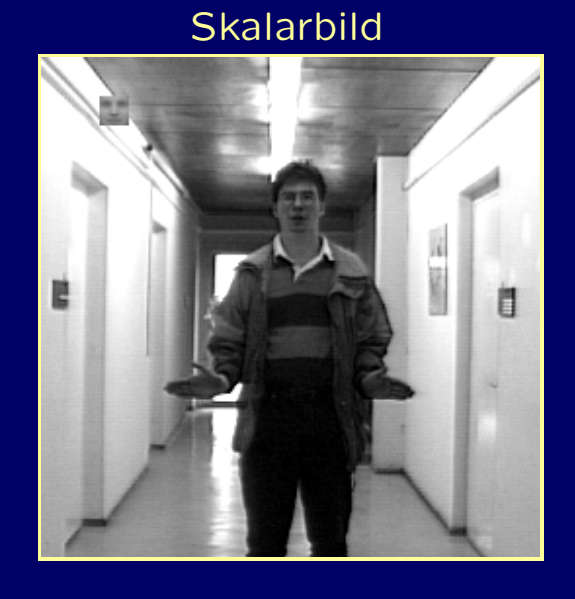


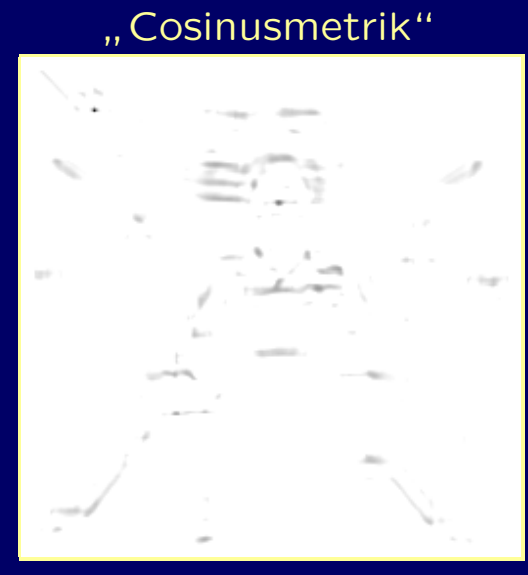




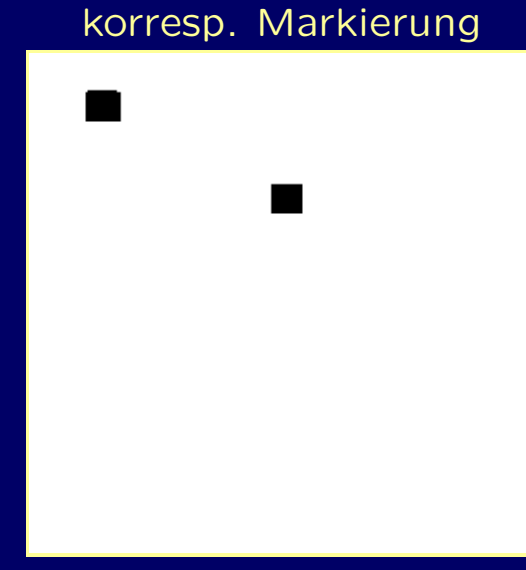


Beispielergebnisse:









Résumé:

- einfache Implementierbarkeit ohne Spezialhardware
- hinreichende Spezifität
- noch akzeptable Berechnungszeiten weitere Senkung der Auflösung?
- ¬ akzeptable Resultate

Résumé:

- einfache Implementierbarkeit ohne Spezialhardware
- hinreichende Spezifität
- noch akzeptable Berechnungszeiten weitere Senkung der Auflösung?
- ¬ akzeptable Resultate

Résumé:

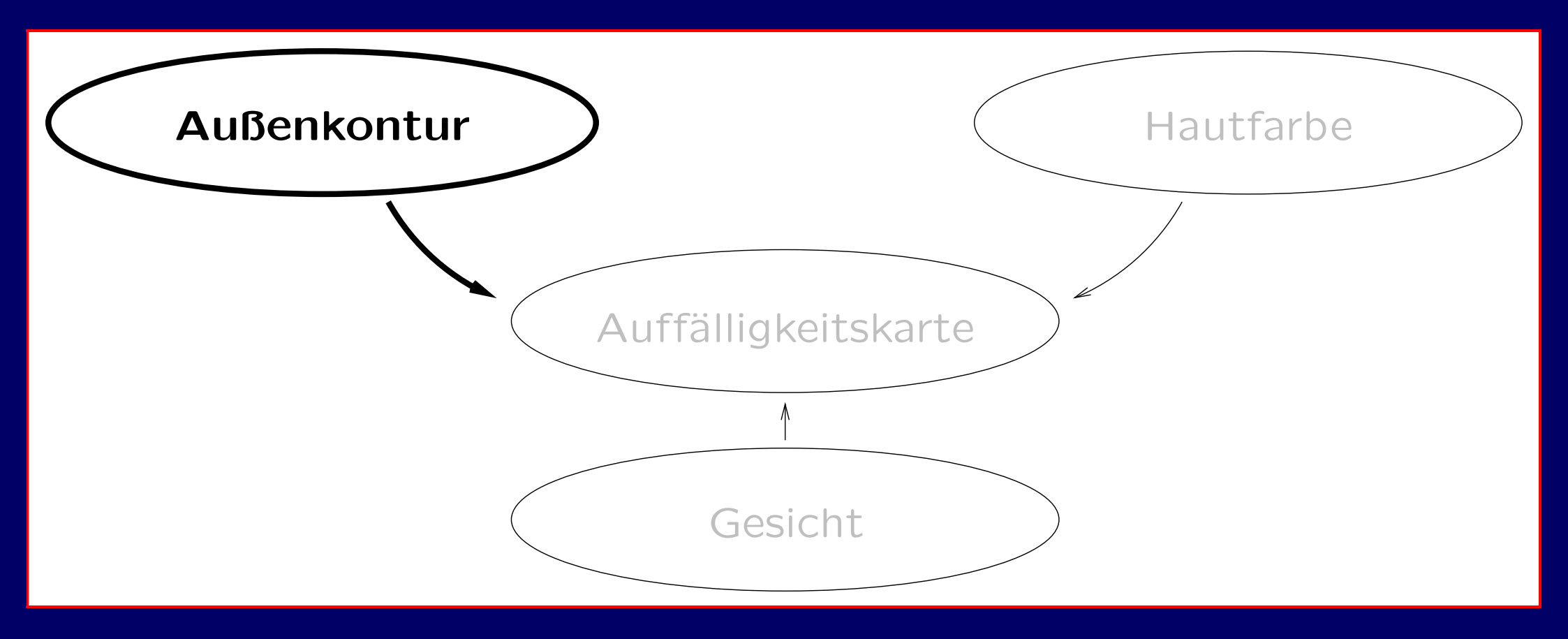
- einfache Implementierbarkeit ohne Spezialhardware
- hinreichende Spezifität
- noch akzeptable Berechnungszeiten weitere Senkung der Auflösung?
- ¬ akzeptable Resultate

Résumé:

- einfache Implementierbarkeit ohne Spezialhardware
- hinreichende Spezifität
- noch akzeptable Berechnungszeiten weitere Senkung der Auflösung?
- ¬ akzeptable Resultate

Résumé:

- einfache Implementierbarkeit ohne Spezialhardware
- hinreichende Spezifität
- noch akzeptable Berechnungszeiten weitere Senkung der Auflösung?
- akzeptable Resultate



Zielstellung:

Zielstellung:

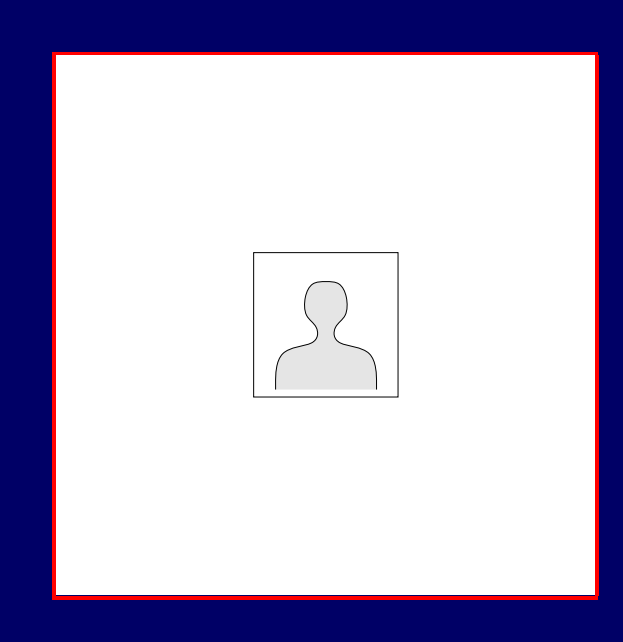
Zielstellung:

Zielstellung:



Zielstellung:





- Diskrete Parametrische Repräsentationen natürlicher Bilder (Kopecz, J. 1992)
 - → Orientierungshistogramme
- Aktive Strahlen (Denzler 1997)
 - → sternförmige Analyse
- Haar Wavelet Templates (Oren & Poggio 1997)
 - → vollständige Kontur von Personen

- Diskrete Parametrische Repräsentationen natürlicher Bilder (Kopecz, J. 1992)
 - → Orientierungshistogramme
- Aktive Strahlen (Denzler 1997)
 - → sternförmige Analyse
- Haar Wavelet Templates (Oren & Poggio 1997)
 - → vollständige Kontur von Personen

- Diskrete Parametrische Repräsentationen natürlicher Bilder (Kopecz, J. 1992)
 - → Orientierungshistogramme
- Aktive Strahlen (Denzler 1997)
 - → sternförmige Analyse
- Haar Wavelet Templates (Oren & Poggio 1997)
 - → vollständige Kontur von Personen

- Diskrete Parametrische Repräsentationen natürlicher Bilder (Kopecz, J. 1992)
 - → Orientierungshistogramme
- Aktive Strahlen (Denzler 1997)
 - → sternförmige Analyse
- Haar Wavelet Templates (Oren & Poggio 1997)
 - → vollständige Kontur von Personen

Kopf-Schulter-Partie (Prinzip):

- Approximation der äußeren Kontur
 - → Arrangement orientierter Filter

Kopf-Schulter-Partie (Prinzip):

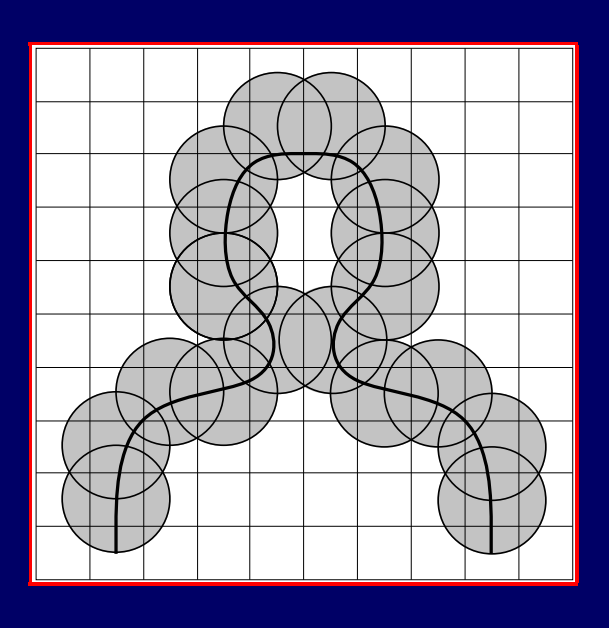
- Approximation der äußeren Kontur
 - → Arrangement orientierter Filter

Kopf-Schulter-Partie (Prinzip):

- Approximation der äußeren Kontur
 - → Arrangement orientierter Filter

Kopf-Schulter-Partie (Prinzip):

- Approximation der äußeren Kontur
 - → Arrangement orientierter Filter

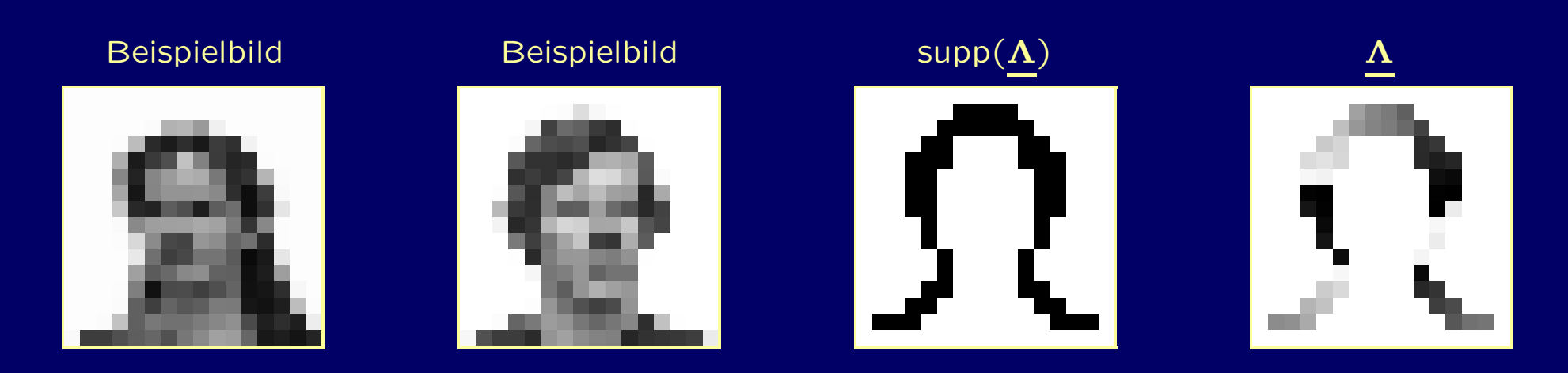


Prinzipielle Anordnung der orientierten Filter

→ Extraktion der jeweils lokal dominanten

Orientierung

Gewinnung des Filterarrangements:



binarisierter mittlerer Konturverlauf supp $(\underline{\Lambda})$ Arrangement orientierter Filter als Konturtemplate $\underline{\Lambda}$

- Template $\underline{\Lambda}$, Matrix $\underline{\Phi}$
- π -Periodizität der Winkel
- geeignete Normierung

- Template $\underline{\Lambda}$, Matrix $\underline{\Phi}$
- π -Periodizität der Winkel
- geeignete Normierung

- Template $\underline{\Lambda}$, Matrix $\underline{\Phi}$
- π -Periodizität der Winkel
- geeignete Normierung

- Template $\underline{\Lambda}$, Matrix $\underline{\Phi}$
- π -Periodizität der Winkel
- geeignete Normierung

- Template $\underline{\Lambda}$, Matrix $\underline{\Phi}$
- π -Periodizität der Winkel
- geeignete Normierung

$$p_{K_{jk}} = \frac{\sum_{l=0}^{L-1} \sum_{m=0}^{M-1} \frac{1}{2} \left[\cos \left(2 \left| \lambda_{lm} - \phi_{(j+l-\frac{L}{2})(k+m-\frac{M}{2})} \right| \right) + 1 \right]}{\operatorname{card} \left(\operatorname{supp} \left(\underline{\Lambda} \right) \right)}$$

Bestimmung lokaler Orientierung:

- direkte Methode:
 - → Steerable Filters (Freeman 1992)

 - → nichtl. lokale Strukturanalyse (Jähne 1993 ff.)

Bestimmung lokaler Orientierung:

- direkte Methode:
 - → Steerable Filters (Freeman 1992)
 - Canny-/Derichefilter (Canny, Deriche 1986/87)
 - → nichtl. lokale Strukturanalyse (Jähne 1993 ff.)

Exemplarische Ergebnisse:









Exemplarische Ergebnisse:

Beispiel 2 Beispiel 1 Beispiel 3 Beispiel 4

Résumé:

- geringe Kontrastempfindlichkeit
- schnelle Berechnung
- hohe Sensitivität auch unter ungünstigen Beleuchtungsverhältnissen
- hinreichende Spezifität
- ¬ akzeptable Resultate

Résumé:

- geringe Kontrastempfindlichkeit
- schnelle Berechnung
- hohe Sensitivität auch unter ungünstigen Beleuchtungsverhältnissen
- hinreichende Spezifität
- ¬ akzeptable Resultate

Résumé:

- geringe Kontrastempfindlichkeit
- schnelle Berechnung
- hohe Sensitivität auch unter ungünstigen Beleuchtungsverhältnissen
- hinreichende Spezifität
- akzeptable Resultate

Résumé:

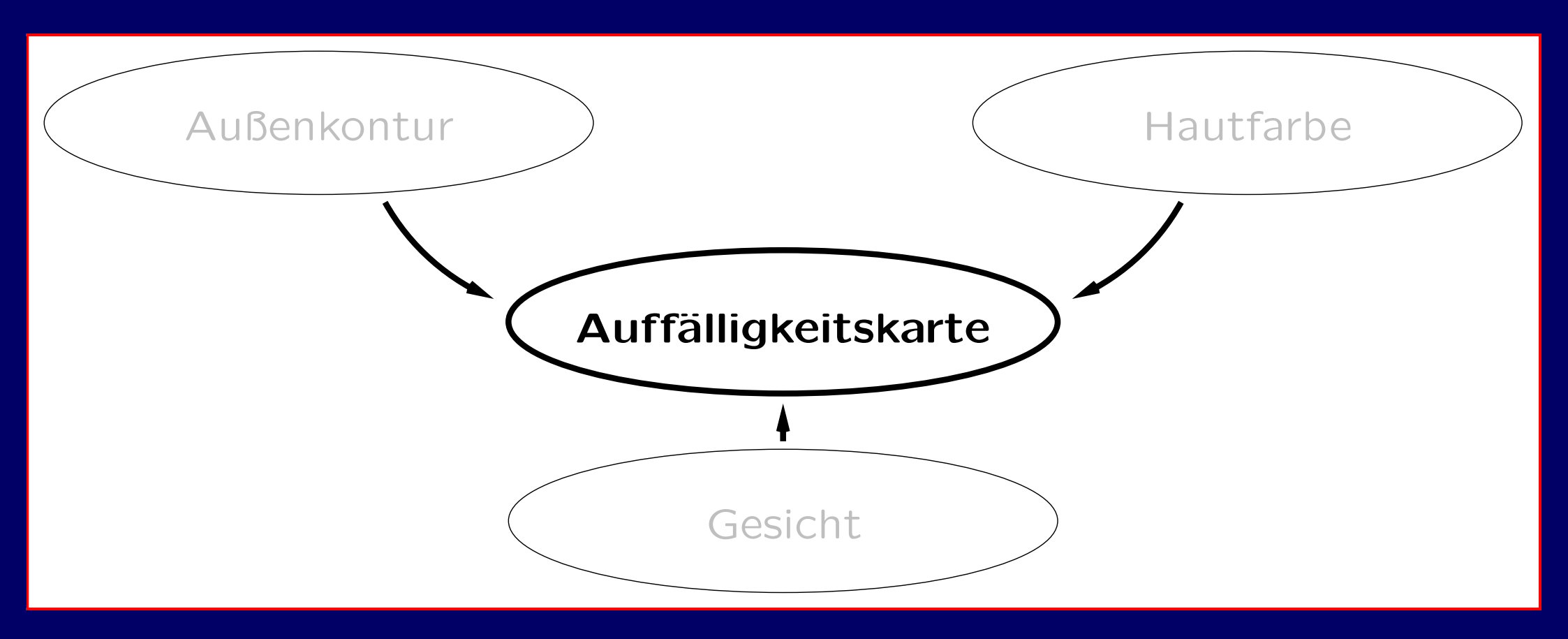
- geringe Kontrastempfindlichkeit
- schnelle Berechnung
- hohe Sensitivität auch unter ungünstigen Beleuchtungsverhältnissen
- hinreichende Spezifität
- ¬ akzeptable Resultate

Résumé:

- geringe Kontrastempfindlichkeit
- schnelle Berechnung
- hohe Sensitivität auch unter ungünstigen Beleuchtungsverhältnissen
- hinreichende Spezifität
- ¬ akzeptable Resultate

Résumé:

- geringe Kontrastempfindlichkeit
- schnelle Berechnung
- hohe Sensitivität auch unter ungünstigen Beleuchtungsverhältnissen
- hinreichende Spezifität
- ¬ akzeptable Resultate



- Personenlokalisation durch redundante Fusion von
 - \sim Hautfarbdetektion \mathbf{P}_H
 - \sim Gesichtsdetektion $\underline{\mathbf{P}}_G$
 - \sim Konturdetektion $\underline{\mathbf{P}}_{K}$
- und 3D-Selektion

- Personenlokalisation durch redundante Fusion von
 - \sim Hautfarbdetektion \mathbf{P}_H
 - \sim Gesichtsdetektion $\underline{\mathbf{P}}_{G}$
 - \sim Konturdetektion $\underline{\mathbf{P}}_K$
- und 3D-Selektion

- Personenlokalisation durch redundante Fusion von
 - \sim Hautfarbdetektion \mathbf{P}_H
 - \sim Gesichtsdetektion $\underline{\mathbf{P}}_G$
 - \sim Konturdetektion \mathbf{P}_{K}
- und 3D-Selektion

- Personenlokalisation durch redundante Fusion von
 - \sim Hautfarbdetektion \mathbf{P}_H
 - \sim Gesichtsdetektion $\underline{\mathbf{P}}_G$
 - \sim Konturdetektion $\underline{\mathbf{P}}_{K}$
- und 3D-Selektion

Ansätze (eingeschl. verwandte Problemstellungen):

Feyrer & Zell 1998: (i. w.) Hautfarbsegmentierung moduliert durch Bewegungsdetektion

Triesch 1999: Verbundauffälligkeitskarte 1:2:1

- lok. Orientierung auf versch. Skalen
- Abweichung von mittlerer lok. Farbe
- lok. Orientierung auf hautfarbsegm. Bild

Ansätze (eingeschl. verwandte Problemstellungen):

Feyrer & Zell 1998: (i. w.) Hautfarbsegmentierung moduliert durch Bewegungsdetektion

Triesch 1999: Verbundauffälligkeitskarte 1:2:1

- lok. Orientierung auf versch. Skalen
- Abweichung von mittlerer lok. Farbe
- lok. Orientierung auf hautfarbsegm. Bild

Ansätze (eingeschl. verwandte Problemstellungen):

Feyrer & Zell 1998: (i. w.) Hautfarbsegmentierung moduliert durch Bewegungsdetektion

Triesch 1999: Verbundauffälligkeitskarte 1:2:1

- lok. Orientierung auf versch. Skalen
- Abweichung von mittlerer lok. Farbe
- lok. Orientierung auf hautfarbsegm. Bild

Ansätze (eingeschl. verwandte Problemstellungen):

Feyrer & Zell 1998: (i. w.) Hautfarbsegmentierung moduliert durch Bewegungsdetektion

Triesch 1999: Verbundauffälligkeitskarte 1:2:1

- lok. Orientierung auf versch. Skalen
- Abweichung von mittlerer lok. Farbe
- lok. Orientierung auf hautfarbsegm. Bild

- Milanese, Pun & Wechsler 1993: iteratives Auffinden von Koinzidenzen
 - → nichtlineares Relaxationsverfahren
- Itti, Koch & Niebur 1998: Modell zur selektiven visuellen Auffälligkeit (Farbe, Intensität, Orientierung)
 - normierte lineare Überlagerung (Karten mit selektiven Einträgen verstärkt gewichtet, u. u.)
 - Selektion im Winner-Take-All-Prozeß (WTA)

 → 2D-Feld dyn. Neuronen (Koch & Ullman 1985)

- Milanese, Pun & Wechsler 1993: iteratives Auffinden von Koinzidenzen
 - → nichtlineares Relaxationsverfahren
- Itti, Koch & Niebur 1998: Modell zur selektiven visuellen Auffälligkeit (Farbe, Intensität, Orientierung)
 - normierte lineare Überlagerung (Karten mit selektiven Einträgen verstärkt gewichtet, u. u.)
 - Selektion im Winner-Take-All-Prozeß (WTA)

 → 2D-Feld dyn. Neuronen (Koch & Ullman 1985)

- Milanese, Pun & Wechsler 1993: iteratives Auffinden von Koinzidenzen
 - → nichtlineares Relaxationsverfahren
- Itti, Koch & Niebur 1998: Modell zur selektiven visuellen Auffälligkeit (Farbe, Intensität, Orientierung)
 - normierte lineare Überlagerung (Karten mit selektiven Einträgen verstärkt gewichtet, u. u.)
 - Selektion im Winner-Take-All-Prozeß (WTA)

 → 2D-Feld dyn. Neuronen (Koch & Ullman 1985)

- Milanese, Pun & Wechsler 1993: iteratives Auffinden von Koinzidenzen
 - → nichtlineares Relaxationsverfahren
- Itti, Koch & Niebur 1998: Modell zur selektiven visuellen Auffälligkeit (Farbe, Intensität, Orientierung)
 - normierte lineare Überlagerung (Karten mit selektiven Einträgen verstärkt gewichtet, u. u.)
 - Selektion im Winner-Take-All-Prozeß (WTA)

 → 2D-Feld dyn. Neuronen (Koch & Ullman 1985)

- Hautfarbe häufig dominierend und/oder konditional
- verschiedene grauwertbasierte Komponenten
- meist gewichtete Superposition
- mangelhafte Redundanz
- → Redundanzerhöhung: integrative Fusion mit FuzzyOperator
- → robuste Selektion: iteratives Relaxationsverfahren
 (WTA)

- Hautfarbe häufig dominierend und/oder konditional
- verschiedene grauwertbasierte Komponenten
- meist gewichtete Superposition
- mangelhafte Redundanz
- → robuste Selektion: iteratives Relaxationsverfahren
 (WTA)

- Hautfarbe häufig dominierend und/oder konditional
- verschiedene grauwertbasierte Komponenten
- meist gewichtete Superposition
- mangelhafte Redundanz
- → robuste Selektion: iteratives Relaxationsverfahren
 (WTA)

- Hautfarbe häufig dominierend und/oder konditional
- verschiedene grauwertbasierte Komponenten
- meist gewichtete Superposition
- mangelhafte Redundanz
- → robuste Selektion: iteratives Relaxationsverfahren
 (WTA)

- Hautfarbe häufig dominierend und/oder konditional
- verschiedene grauwertbasierte Komponenten
- meist gewichtete Superposition
- → Redundanzerhöhung: integrative Fusion mit FuzzyOperator
- → robuste Selektion: iteratives Relaxationsverfahren
 (WTA)

- Hautfarbe häufig dominierend und/oder konditional
- verschiedene grauwertbasierte Komponenten
- meist gewichtete Superposition

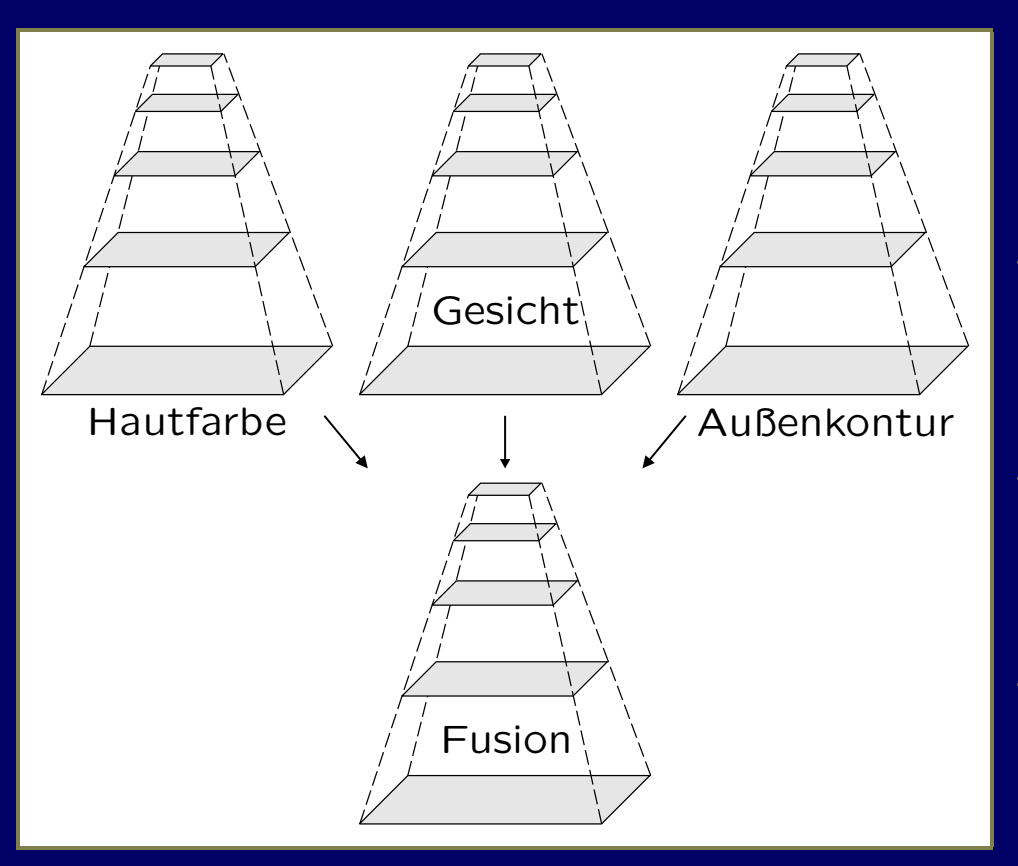
- → robuste Selektion: iteratives Relaxationsverfahren
 (WTA)

Schlußfolgerungen aus bekannten Ansätzen:

- Hautfarbe häufig dominierend und/oder konditional
- verschiedene grauwertbasierte Komponenten
- meist gewichtete Superposition
- mangelhafte Redundanz
- → Redundanzerhöhung: integrative Fusion mit FuzzyOperator
- → robuste Selektion: iteratives Relaxationsverfahren
 (WTA)

Fusion der Auffälligkeitskarten mit Fuzzy-Operator:

Vorverarbeitungsschritt vor anschl. dyn. Selektion

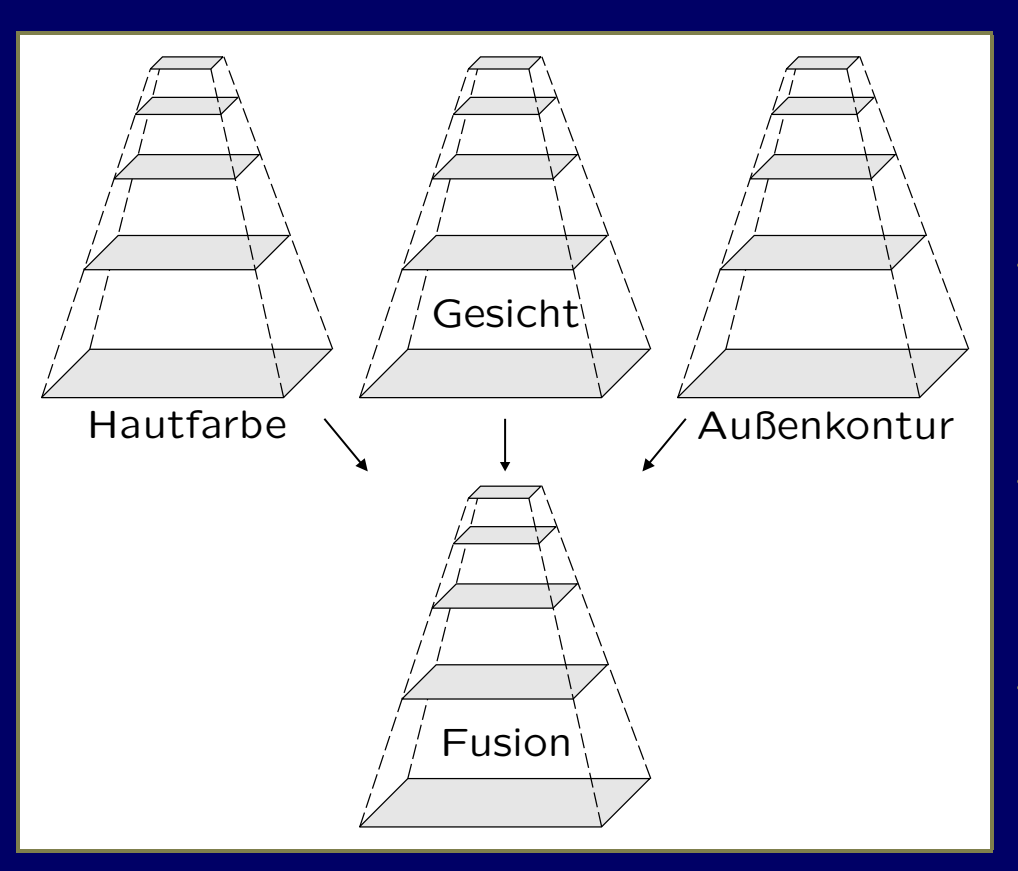


Min-Max-Operator

- keine einfache arithmetische Mittelung
- keine unmittelbare Maximumsselektion
- Einbeziehung von Koinzidenzen

Fusion der Auffälligkeitskarten mit Fuzzy-Operator:

Vorverarbeitungsschritt vor anschl. dyn. Selektion

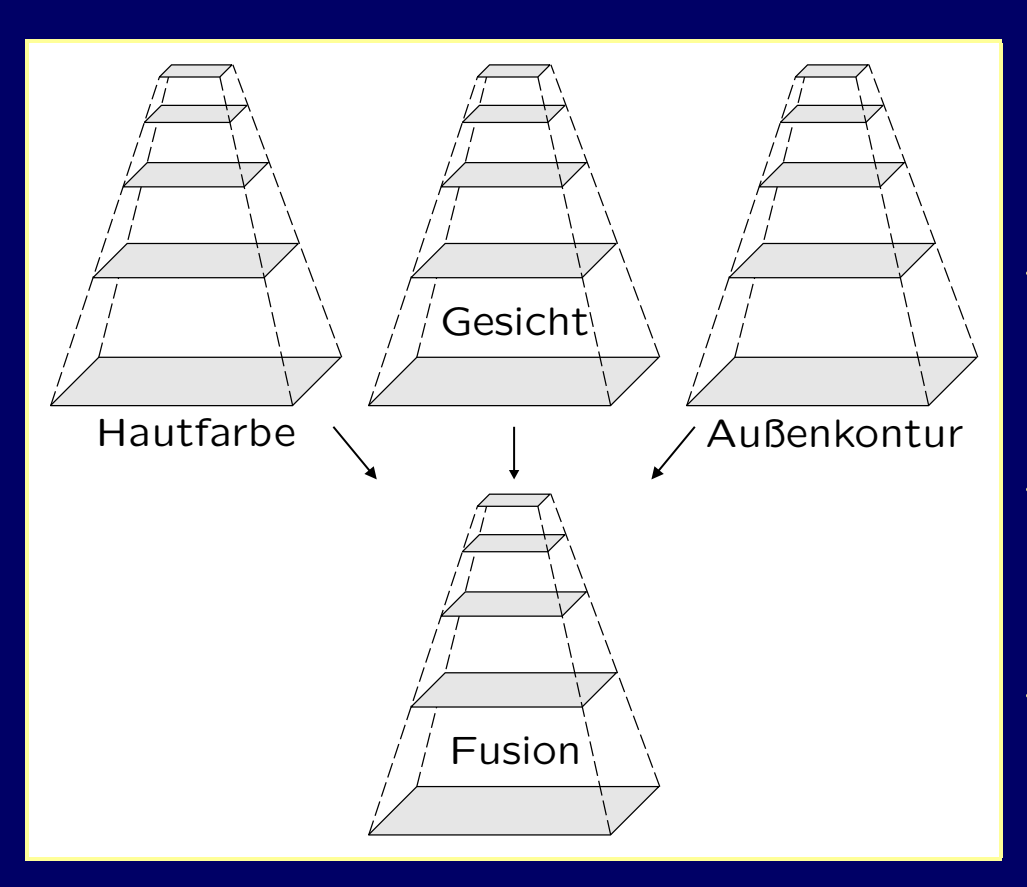


Min-Max-Operator

- keine einfache arithmetische Mittelung
- keine unmittelbare Maximumsselektion
- Einbeziehung von Koinzidenzen

Fusion der Auffälligkeitskarten mit Fuzzy-Operator:

Vorverarbeitungsschritt vor anschl. dyn. Selektion



Min-Max-Operator

- keine einfache arithmetische Mittelung
- keine unmittelbare Maximumsselektion
- Einbeziehung von Koinzidenzen

Fusion der Auffälligkeitskarten mit Fuzzy-Operator:

Konkretisierung des Min-Max-Operators:

$$p_{jk}(p_{H_{jk}}, p_{G_{jk}}, p_{K_{jk}}) = \gamma \cdot \min(p_{H_{jk}}, p_{G_{jk}}, p_{K_{jk}}) + (1 - \gamma) \cdot \max(p_{H_{jk}}, p_{G_{jk}}, p_{K_{jk}})$$

 Grundlage für die abschließende Selektion im dyn. neuronalen Feld

Fusion der Auffälligkeitskarten mit Fuzzy-Operator:

Konkretisierung des Min-Max-Operators:

$$p_{jk}(p_{H_{jk}}, p_{G_{jk}}, p_{K_{jk}}) = \gamma \cdot \min(p_{H_{jk}}, p_{G_{jk}}, p_{K_{jk}}) + (1 - \gamma) \cdot \max(p_{H_{jk}}, p_{G_{jk}}, p_{K_{jk}})$$

 Grundlage für die abschließende Selektion im dyn. neuronalen Feld

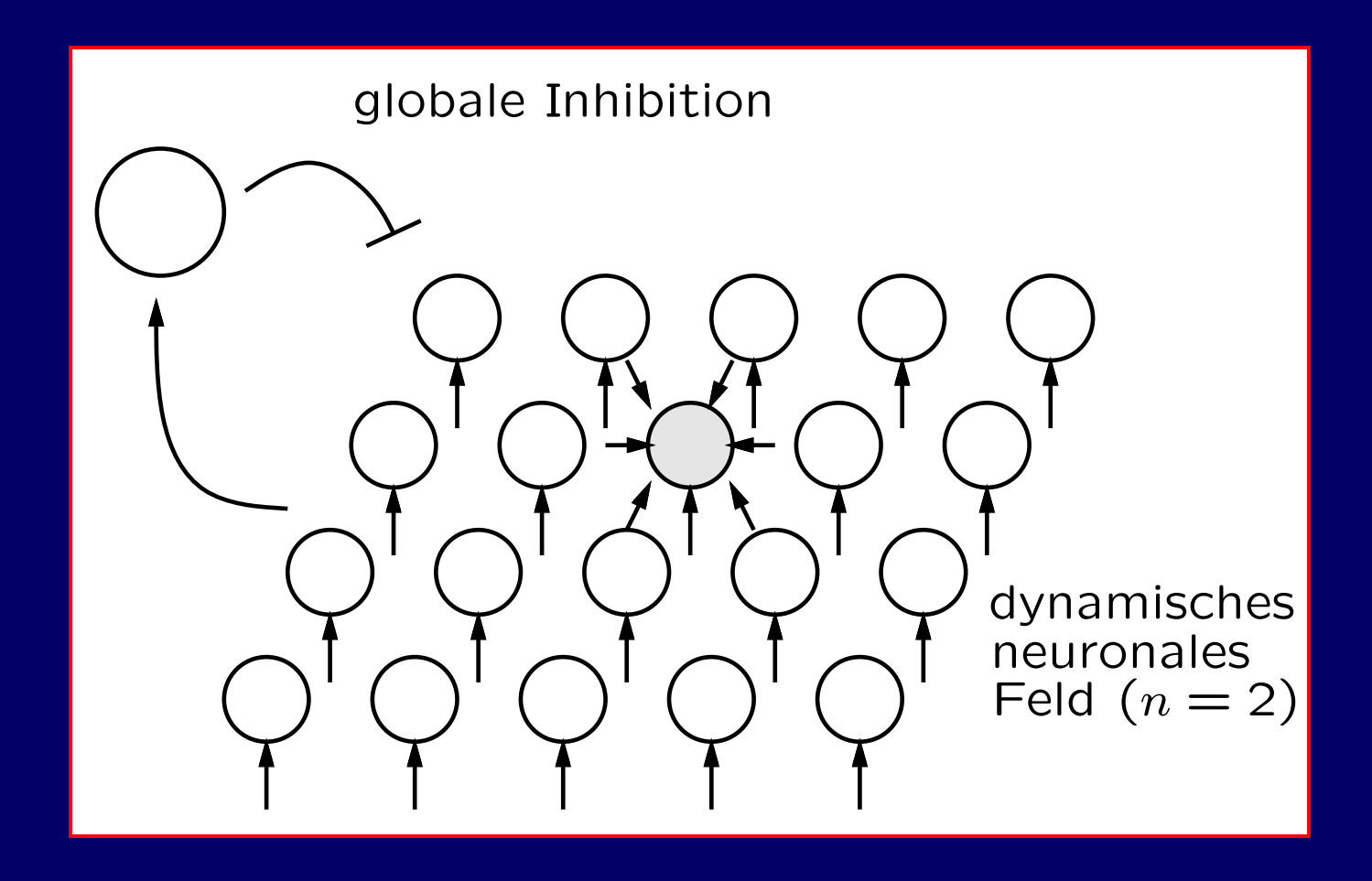
- bedingte Maximumsselektion (WTA)
 - → lokale Kooperation ⇔ globale Konkurrenz
 Bedingung: Inputs erfüllen implizite Amplituden-,
 Ausdehnungs- und Zeitdauerkriterien
- räumlich-zeitliches Hystereseverhalten
 - → Stabilisierung
- räumlich-zeitliches Matching
 - → Tracking

- bedingte Maximumsselektion (WTA)
 - → lokale Kooperation ⇔ globale Konkurrenz
 Bedingung: Inputs erfüllen implizite Amplituden-,
 Ausdehnungs- und Zeitdauerkriterien
- räumlich-zeitliches Hystereseverhalten
 - → Stabilisierung
- räumlich-zeitliches Matching
 - → Tracking

- bedingte Maximumsselektion (WTA)
 - → lokale Kooperation ⇔ globale Konkurrenz
 Bedingung: Inputs erfüllen implizite Amplituden-,
 Ausdehnungs- und Zeitdauerkriterien
- räumlich-zeitliches Hystereseverhalten
 - → Stabilisierung
- räumlich-zeitliches Matching
 - → Tracking

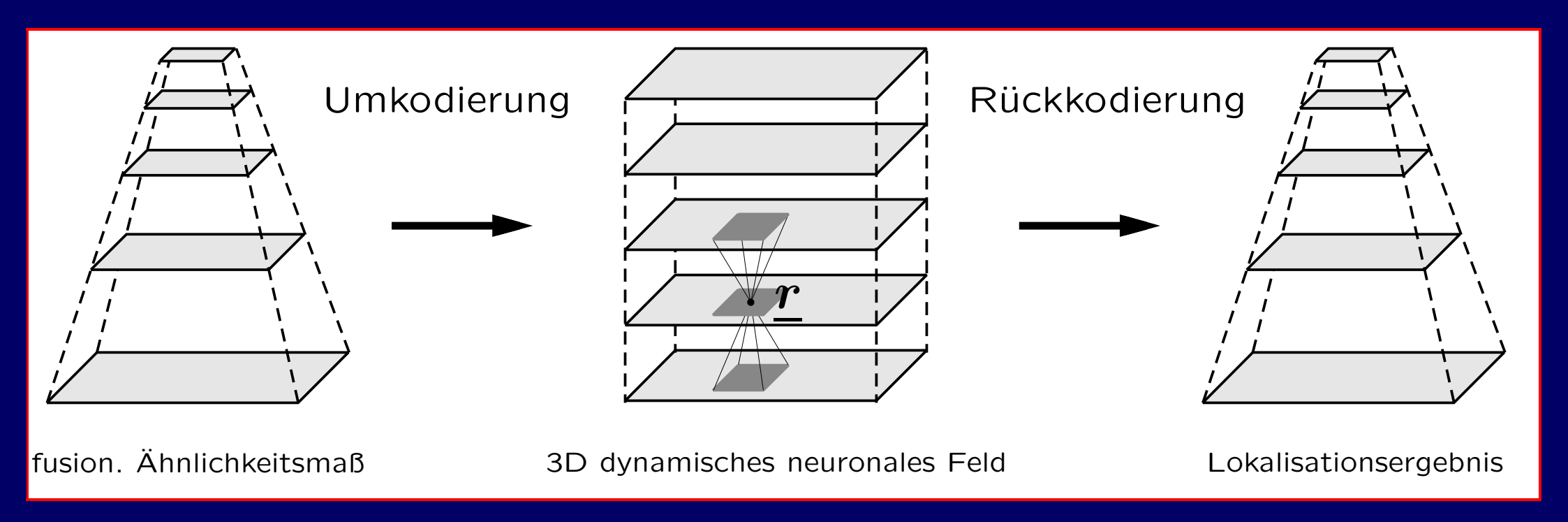
- bedingte Maximumsselektion (WTA)
 - → lokale Kooperation ⇔ globale Konkurrenz
 Bedingung: Inputs erfüllen implizite Amplituden-,
 Ausdehnungs- und Zeitdauerkriterien
- räumlich-zeitliches Hystereseverhalten
 - → Stabilisierung
- räumlich-zeitliches Matching
 - → Tracking

Dynamisches neuronales Feld vom Amari-Typ:



$$\tau \frac{d}{dt} z(\underline{\boldsymbol{r}},t) = -z(\underline{\boldsymbol{r}},t) - c_h h(t) + c_i x(\underline{\boldsymbol{r}},t') + c_l \int_{N \subseteq \mathbb{R}^n} w(\underline{\boldsymbol{r}} - \underline{\boldsymbol{r}}') y \left(z(\underline{\boldsymbol{r}}',t) \right) d^n \underline{\boldsymbol{r}}'$$

Temporäre kubische Umkodierung:



Numerische Lösung des nichtl. DGL-Systems:

Für Felder vom Amari-Typ sind geeignet (Wilhelm 1998):

- ullet explizite einschrittige Lösungsverfahren erster Ordnung mit fester Schrittweite $rac{\Delta T}{ au} \leq 0,1$
- → Polygonzug-/Eulersche Methode:

$$z(k+1) = z(k) + \frac{\Delta T}{\tau} \left(f - z(k) \right)$$

Numerische Lösung des nichtl. DGL-Systems:

Für Felder vom Amari-Typ sind geeignet (Wilhelm 1998):

- explizite einschrittige Lösungsverfahren erster Ordnung mit fester Schrittweite $\frac{\Delta T}{\tau} \leq 0,1$
- → Polygonzug-/Eulersche Methode:

$$z(k+1) = z(k) + \frac{\Delta T}{\tau} \left(f - z(k) \right)$$

Numerische Lösung des nichtl. DGL-Systems:

Für Felder vom Amari-Typ sind geeignet (Wilhelm 1998):

- explizite einschrittige Lösungsverfahren erster Ordnung mit fester Schrittweite $\frac{\Delta T}{\tau} \leq 0,1$
- → Polygonzug-/Eulersche Methode:

$$z(k+1) = z(k) + \frac{\Delta T}{\tau} \left(f - z(k) \right)$$

Relaxationsprozeß im 3D dyn. neuronalen Feld:

Beispielsequenzen

40 0,04 2,92 0,81 3,44 0,00 45 5 0,00 0,00 0,00 0,00 0,00 0,15 2,66 1,01 2,48 0,00 10 50 1,63 0,00 0,00 0,00 0,19 2,49 1,35 1,57 2,76 0,00 15 55 11,39 10,00 10,08 15,23 9,95 0,19 2,33 1,63 0,93 0,00 20 60 2,27 3,85 0,00 2,07 0,00 0,08 0,16 1,79 0,08 0,00 25 65 2,32 3,62 0,00 0,05 1,76 1,77 0,00 80,0 0,00 0,00 30 70 1,64 0,00 3,33 0,65 5,01 0,09 0,00 1,70 0,00 0,00 35 75 3,12 1,64 0,00 4,35 0,00 1,54 0,67 0,00 0,00 0,00

WTA-Prozeß:

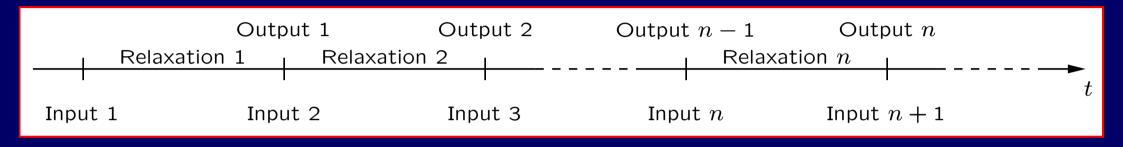
75 Iterationsschritte in einem Feld von $16 \times 16 \times 5$ dynamischen Neuronen mit (Fall 1) zwei "einschichtigen Stimuli" doppelter Rauschamplitude

40 0,00 2,17 1,80 0,00 0,00 45 5 0,00 0,00 0,00 0,00 0,00 0,00 1,96 1,34 0,00 0,00 10 50 1,51 4,61 2,66 2,82 0,00 1,64 0,00 1,85 1,14 0,00 15 55 2,14 5,27 2,69 2,59 0,06 0,91 0,00 1,71 1,18 0,00 20 60 2,45 5,06 2,06 1,52 0,12 0,94 0,87 1,27 0,00 0,00 25 65 2,72 0,83 0,96 4,83 1,25 0,72 0,15 0,78 0,00 0,00 30 70 0,43 2,67 4,09 0,59 0,08 0,17 0,72 0,79 0,00 0,00 35 75 0,05 2,32 3,31 0,19 0,73 0,78 0,02 0,00 0,00 0,00

WTA-Prozeß:

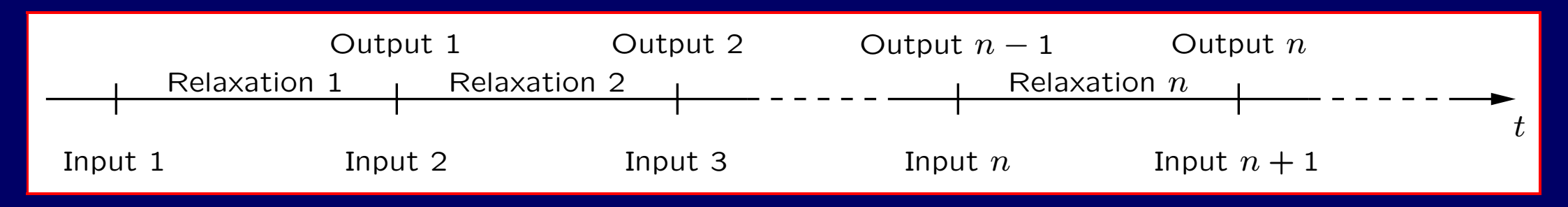
Konstellation
wie Fall 1, aber
(Fall 2) zwei
, dreischichtige
Stimuli"
doppelter
Rauschamplitude

Sequentialisierung des WTA-Prozesses:



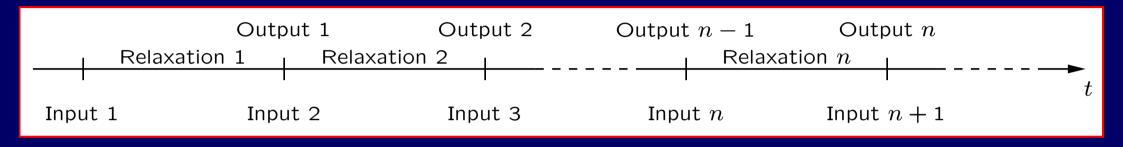
- dynamisches neuronales Feld auf Mikrozeitskala
- Lösung abhängig vom korrespondierenden Input und vorheriger Lösung
- definierter Abbruch der Relaxation (Makrozeitskala)

Sequentialisierung des WTA-Prozesses:



- dynamisches neuronales Feld auf Mikrozeitskala
- Lösung abhängig vom korrespondierenden Input und vorheriger Lösung
- definierter Abbruch der Relaxation (Makrozeitskala)

Sequentialisierung des WTA-Prozesses:



- dynamisches neuronales Feld auf Mikrozeitskala
- Lösung abhängig vom korrespondierenden Input und vorheriger Lösung
- definierter Abbruch der Relaxation (Makrozeitskala)

Demonstration des realisierten Systems:

24 Szenen mit typischen Fällen und Problemfällen:

Demonstration des realisierten Systems:

24 Szenen mit typischen Fällen und Problemfällen:

- 1. Innen-/Außenbereich
- 2. Beleuchtungsstärke
- 3. Beleuchtungsrichtung
- 4. Personenentfernung
- 5. Hintergrund-/Vordergrund-Komplexitäten

Demonstration des realisierten Systems:

24 Szenen mit typischen Fällen und Problemfällen:

- 1. Innen-/Außenbereich
- 2. Beleuchtungsstärke
- 3. Beleuchtungsrichtung
- 4. Personenentfernung
- 5. Hintergrund-/Vordergrund-Komplexitäten

Demonstration des realisierten Systems:

24 Szenen mit typischen Fällen und Problemfällen:

- 1. Innen-/Außenbereich
- 2. Beleuchtungsstärke
- 3. Beleuchtungsrichtung
- 4. Personenentfernung
- 5. Hintergrund-/Vordergrund-Komplexitäten

Demonstration des realisierten Systems:

24 Szenen mit typischen Fällen und Problemfällen:

- 1. Innen-/Außenbereich
- 2. Beleuchtungsstärke
- 3. Beleuchtungsrichtung
- 4. Personenentfernung
- 5. Hintergrund-/Vordergrund-Komplexitäten

Demonstration des realisierten Systems:

24 Szenen mit typischen Fällen und Problemfällen:

- 1. Innen-/Außenbereich
- 2. Beleuchtungsstärke
- 3. Beleuchtungsrichtung
- 4. Personenentfernung
- 5. Hintergrund-/Vordergrund-Komplexitäten

Demonstration des realisierten Systems:

24 Szenen mit typischen Fällen und Problemfällen:

- 1. Innen-/Außenbereich
- 2. Beleuchtungsstärke
- 3. Beleuchtungsrichtung
- 4. Personenentfernung
- 5. Hintergrund-/Vordergrund-Komplexitäten

Demonstration des realisierten Systems:

Demonstration des realisierten Systems:

- zu starr f
 ür Tests
- für sinnvolle quantitative Aussagen sehr großer Umfang erforderlich
- bereits hohe Variabilität durch mobilen Roboter & Computervision-Arbeitsplatz

Demonstration des realisierten Systems:

- zu starr f
 ür Tests
- für sinnvolle quantitative Aussagen sehr großer Umfang erforderlich
- bereits hohe Variabilität durch mobilen Roboter & Computervision-Arbeitsplatz

Demonstration des realisierten Systems:

- zu starr f
 ür Tests
- für sinnvolle quantitative Aussagen sehr großer Umfang erforderlich
- bereits hohe Variabilität durch mobilen Roboter & Computervision-Arbeitsplatz

Demonstration des realisierten Systems:

- zu starr f
 ür Tests
- für sinnvolle quantitative Aussagen sehr großer Umfang erforderlich
- bereits hohe Variabilität durch mobilen Roboter & Computervision-Arbeitsplatz

Demonstration des realisierten Systems:

Galerie an Szenen *nicht* realisiert, weil:

- zu starr f
 ür Tests
- für sinnvolle quantitative Aussagen sehr großer Umfang erforderlich
- bereits hohe Variabilität durch mobilen Roboter & Computervision-Arbeitsplatz

Nachteil: Aussagen bleiben halbquantitativ

Lokalisationsergebnisse (1)

«Autor» im Außenbereich

Dist.	$Id(e_S)$	Ort	Belricht.	Hautf.	Gesicht	Kontur	Person	Abb.
1,0m	5,0	außen	rundum	konz.	2	vert. 2-3	2(2)	_
1,0m	5,0	außen	rundum	konz.	2	2	2 (2)	(a)
1,5m	5,0	außen	rundum	konz.	1	1	1 (1)	(b)
2,0m	5,0	außen	rundum	konz.	0	0	0 (0)	_

Lokalisationsergebnisse (2)

«Christoph» im Innenbereich

Dist.	$Id(e_S)$	Ort	Belricht.	Hautf.	Gesicht	Kontur	Person	Abb.
0,5m	0,5	innen	entgegen	verteilt	3	3-4	4 (4)	(c)
1,0m	0,25	innen	rundum	konz.	2	0-2	2(2)	_
1,5m	0,5	innen	rundum	konz.	1	0-1	1 (1)	_
2,0m	0,5	innen	rundum	konz.	0	0-1	1 (0)	(d)

Rechenzeitbedarf (Pentium I, 200MHz, PCI):

- 0,2s Bildakquisition (2%)
- 0,3s Hautfarbdetektion (3%)
- 5,2s Gesichtsdetektion (53%)
- 1,4s Konturdetektion (14%)
- + 2,8s Personenlokalisation (Fusion/Selektion, 28%)
 - 9,9s Gesamtzeit zw. Bildaufnahme und Lokalisation

Résumé:

Zweischrittiges Konzept zur Fusion und anschließenden Selektion der Cues

- nutzt den integrativen Charakter des Min-Max-Fuzzy-Operators
- reduziert den Selektionsaufwand auf ein dyn. Feld
- nutzt erfolgreich den zugleich datengetriebenen und zustandsbasierten Ansatz des dyn. neuronalen Feldes zur Selektion

Résumé:

Zweischrittiges Konzept zur Fusion und anschließenden Selektion der Cues

- nutzt den integrativen Charakter des Min-Max-Fuzzy-Operators
- reduziert den Selektionsaufwand auf ein dyn. Feld
- nutzt erfolgreich den zugleich datengetriebenen und zustandsbasierten Ansatz des dyn. neuronalen Feldes zur Selektion

Résumé:

Zweischrittiges Konzept zur Fusion und anschließenden Selektion der Cues

- nutzt den integrativen Charakter des Min-Max-Fuzzy-Operators
- reduziert den Selektionsaufwand auf ein dyn. Feld
- nutzt erfolgreich den zugleich datengetriebenen und zustandsbasierten Ansatz des dyn. neuronalen Feldes zur Selektion

Gesamtrésumé

Gesamtrésumé

- baut auf einer breiten Analyse der Schwachpunkte bekannter Verfahren auf
- setzt erfolgreich einen Satz einfacher
 Auffälligkeitskomponenten redundant ein und vollzieht iterativ eine 3D Selektion
- legt Wert auf praktische Implementierbarkeit
- weist eine akzeptable Demonstrabilität auf

Gesamtrésumé

- baut auf einer breiten Analyse der Schwachpunkte bekannter Verfahren auf
- setzt erfolgreich einen Satz einfacher
 Auffälligkeitskomponenten redundant ein und vollzieht iterativ eine 3D Selektion
- legt Wert auf praktische Implementierbarkeit
- weist eine akzeptable Demonstrabilität auf

Gesamtrésumé

- baut auf einer breiten Analyse der Schwachpunkte bekannter Verfahren auf
- setzt erfolgreich einen Satz einfacher
 Auffälligkeitskomponenten redundant ein und vollzieht iterativ eine 3D Selektion
- legt Wert auf praktische Implementierbarkeit
- weist eine akzeptable Demonstrabilität auf

Gesamtrésumé

- baut auf einer breiten Analyse der Schwachpunkte bekannter Verfahren auf
- setzt erfolgreich einen Satz einfacher
 Auffälligkeitskomponenten redundant ein und vollzieht iterativ eine 3D Selektion
- legt Wert auf praktische Implementierbarkeit
- weist eine akzeptable Demonstrabilität auf

Gesamtrésumé

- baut auf einer breiten Analyse der Schwachpunkte bekannter Verfahren auf
- setzt erfolgreich einen Satz einfacher
 Auffälligkeitskomponenten redundant ein und vollzieht iterativ eine 3D Selektion
- legt Wert auf praktische Implementierbarkeit
- weist eine akzeptable Demonstrabilität auf

Ausblick

- systematisches Anlegen einer Galerie an Szenen zur besseren Quantifizierbarkeit der Leistungsfähigkeit
- Untersuchungen zu Szenen mit mehreren Personen
- Untersuchungen zur weiteren Beschleunigung und Verbesserung der Gesichtsdetektion (Auflösungssenkung & andere Klassifikatoren)
- Untersuchungen zur Hinzunahme von Heuristiken & Kausalitäten

Ausblick

- systematisches Anlegen einer Galerie an Szenen zur besseren Quantifizierbarkeit der Leistungsfähigkeit
- Untersuchungen zu Szenen mit mehreren Personen
- Untersuchungen zur weiteren Beschleunigung und Verbesserung der Gesichtsdetektion (Auflösungssenkung & andere Klassifikatoren)
- Untersuchungen zur Hinzunahme von Heuristiken & Kausalitäten

Ausblick

- systematisches Anlegen einer Galerie an Szenen zur besseren Quantifizierbarkeit der Leistungsfähigkeit
- Untersuchungen zu Szenen mit mehreren Personen
- Untersuchungen zur weiteren Beschleunigung und Verbesserung der Gesichtsdetektion (Auflösungssenkung & andere Klassifikatoren)
- Untersuchungen zur Hinzunahme von Heuristiken & Kausalitäten

Ausblick

- systematisches Anlegen einer Galerie an Szenen zur besseren Quantifizierbarkeit der Leistungsfähigkeit
- Untersuchungen zu Szenen mit mehreren Personen
- Untersuchungen zur weiteren Beschleunigung und Verbesserung der Gesichtsdetektion (Auflösungssenkung & andere Klassifikatoren)
- Untersuchungen zur Hinzunahme von Heuristiken & Kausalitäten

Ausblick

- systematisches Anlegen einer Galerie an Szenen zur besseren Quantifizierbarkeit der Leistungsfähigkeit
- Untersuchungen zu Szenen mit mehreren Personen
- Untersuchungen zur weiteren Beschleunigung und Verbesserung der Gesichtsdetektion (Auflösungssenkung & andere Klassifikatoren)
- Untersuchungen zur Hinzunahme von Heuristiken & Kausalitäten

Ausblick

- → flexible Adaptivität des relativ generischen Ansatzes an andere MMI-Szenarien, wie:
 - "Smart Rooms"
 - intelligente Workstations
 - Informationsterminals

Ausblick

- → flexible Adaptivität des relativ generischen Ansatzes an andere MMI-Szenarien, wie:
 - "Smart Rooms"
 - intelligente Workstations
 - Informationsterminals

Ausblick

- → flexible Adaptivität des relativ generischen Ansatzes an andere MMI-Szenarien, wie:
 - "Smart Rooms"
 - intelligente Workstations
 - Informationsterminals

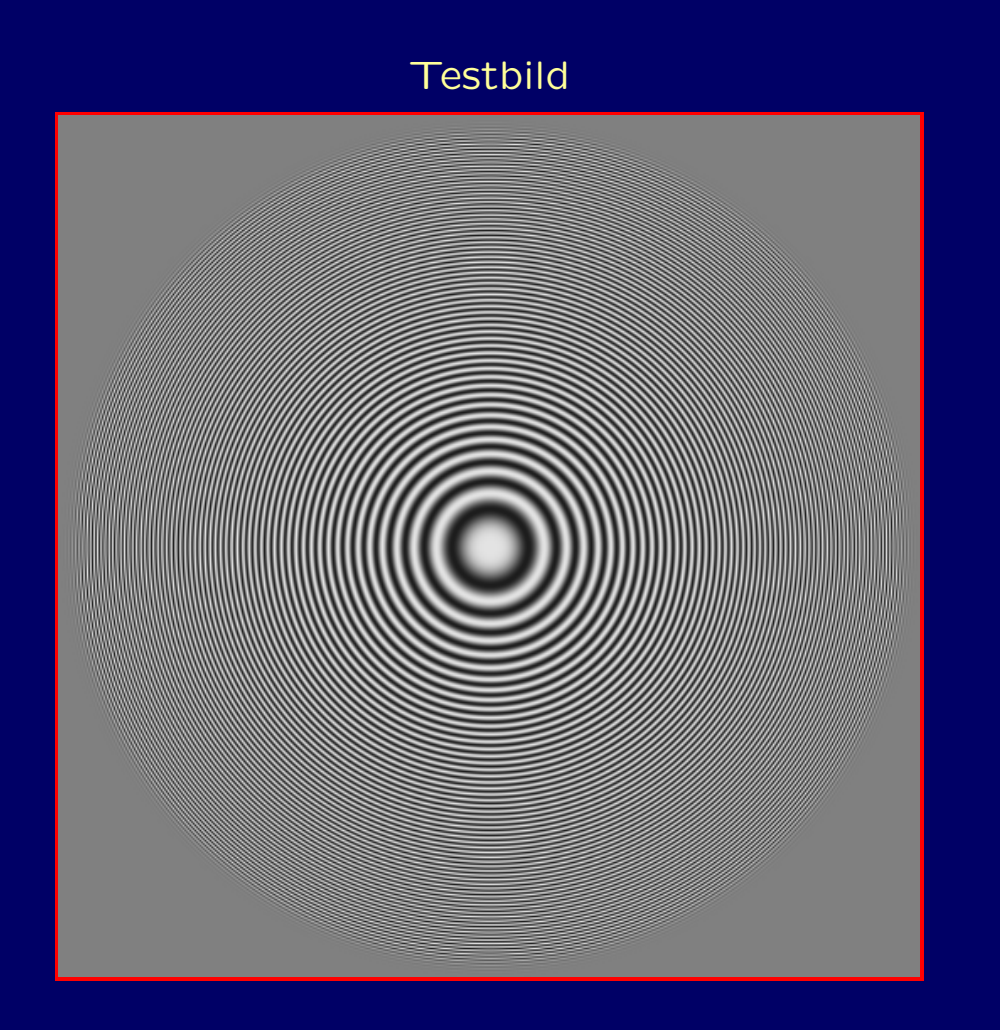
Ausblick

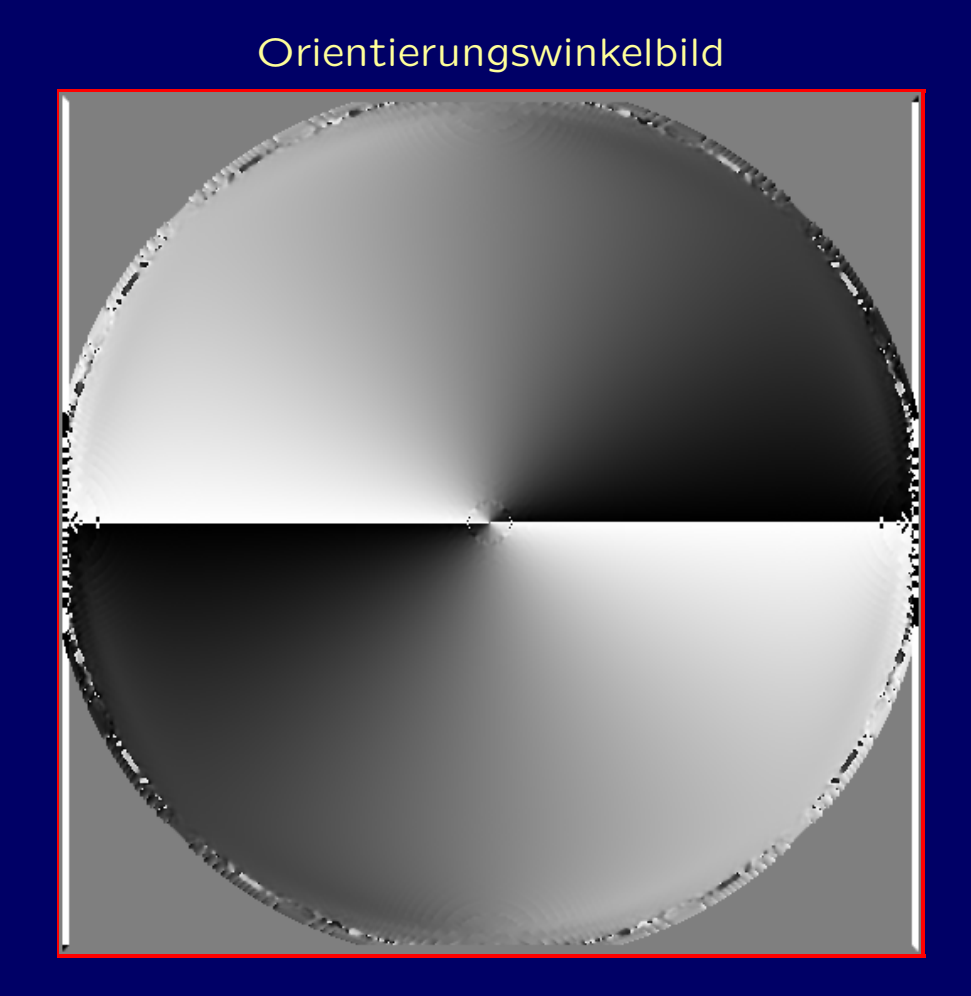
- → flexible Adaptivität des relativ generischen Ansatzes an andere MMI-Szenarien, wie:
 - "Smart Rooms"
 - intelligente Workstations
 - Informationsterminals

Ausblick

- → flexible Adaptivität des relativ generischen Ansatzes an andere MMI-Szenarien, wie:
 - "Smart Rooms"
 - intelligente Workstations
 - Informationsterminals

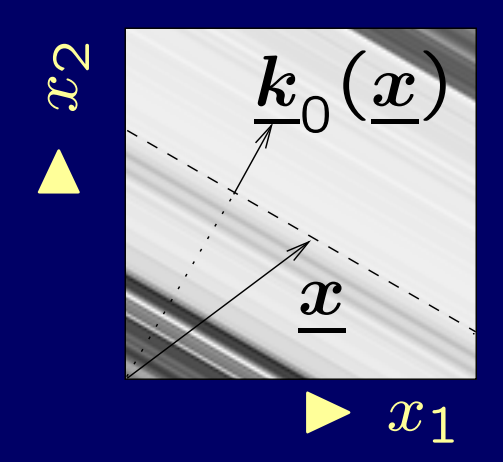
Vielen Dank!





Ansatz:

 Lokale Nachbarschaft mit ideal orientierter Struktur

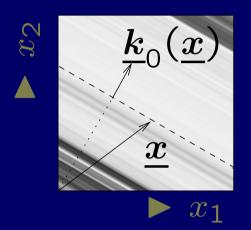


$$\bullet \ \ \overline{\underline{k}_0(\underline{x})} = \operatorname{arg\,max}_{\underline{k}_0(\underline{x})} \left(\underline{k}_0^\top(\underline{x})\underline{\mathbf{J}}(\underline{x})\underline{k}_0(\underline{x})\right)$$

•
$$\underline{\mathbf{J}}(\underline{x}) = \int_{-\infty}^{+\infty} \int_{-\infty}^{+\infty} w(\underline{x} - \underline{x}') \nabla g(\underline{x}') \nabla g(\underline{x}')^{\top} dx'_1 dx'_2$$

Ansatz:

 Lokale Nachbarschaft mit ideal orientierter Struktur

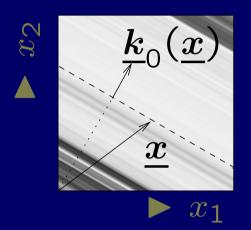


$$\bullet \ \ \overline{\underline{k}_0(\underline{x})} = \operatorname{arg\,max}_{\underline{k}_0(\underline{x})} \left(\underline{k}_0^\top(\underline{x})\underline{\mathbf{J}}(\underline{x})\underline{k}_0(\underline{x})\right)$$

•
$$\underline{\mathbf{J}}(\underline{x}) = \int_{-\infty}^{+\infty} \int_{-\infty}^{+\infty} w(\underline{x} - \underline{x}') \nabla g(\underline{x}') \nabla g(\underline{x}')^{\top} dx'_1 dx'_2$$

Ansatz:

 Lokale Nachbarschaft mit ideal orientierter Struktur



$$\bullet \ \ \overline{\underline{k}_0(\underline{x})} = \operatorname{arg\,max}_{\underline{k}_0(\underline{x})} \left(\underline{k}_0^\top(\underline{x})\underline{\mathbf{J}}(\underline{x})\underline{k}_0(\underline{x})\right)$$

•
$$\underline{\mathbf{J}}(\underline{x}) = \int_{-\infty}^{+\infty} \int_{-\infty}^{+\infty} w(\underline{x} - \underline{x}') \nabla g(\underline{x}') \nabla g(\underline{x}')^{\top} dx'_1 dx'_2$$

Lösung (1):

•
$$\underline{\mathbf{J}}(\underline{x}) = \int_{-\infty}^{+\infty} \int_{-\infty}^{+\infty} w(\underline{x} - \underline{x}')$$

$$\begin{bmatrix} \frac{\partial g(\underline{x}')}{\partial x'_p} \frac{\partial g(\underline{x}')}{\partial x'_p} & \frac{\partial g(\underline{x}')}{\partial x'_p} \frac{\partial g(\underline{x}')}{\partial x'_q} \\ \frac{\partial g(\underline{x}')}{\partial x'_q} \frac{\partial g(\underline{x}')}{\partial x'_p} & \frac{\partial g(\underline{x}')}{\partial x'_q} \frac{\partial g(\underline{x}')}{\partial x'_q} \end{bmatrix} dx'_1 dx'_2$$

$$\bullet \ \underline{\mathbf{J}}'(\underline{x}) = \begin{bmatrix} J_1'(\underline{x}) & 0 \\ 0 & J_2'(\underline{x}) \end{bmatrix} = \underline{\mathbf{T}}^\top(\underline{x})\underline{\mathbf{J}}(\underline{x})\underline{\mathbf{T}}(\underline{x})$$

Lösung (1):

•
$$\underline{\mathbf{J}}(\underline{x}) = \int_{-\infty}^{+\infty} \int_{-\infty}^{+\infty} w(\underline{x} - \underline{x}')$$

$$\begin{bmatrix} \frac{\partial g(\underline{x}')}{\partial x'_p} \frac{\partial g(\underline{x}')}{\partial x'_p} & \frac{\partial g(\underline{x}')}{\partial x'_p} \frac{\partial g(\underline{x}')}{\partial x'_q} \\ \frac{\partial g(\underline{x}')}{\partial x'_q} \frac{\partial g(\underline{x}')}{\partial x'_p} & \frac{\partial g(\underline{x}')}{\partial x'_q} \frac{\partial g(\underline{x}')}{\partial x'_q} \end{bmatrix} dx'_1 dx'_2$$

$$\bullet \ \underline{\mathbf{J}}'(\underline{x}) = \begin{bmatrix} J_1'(\underline{x}) & 0 \\ 0 & J_2'(\underline{x}) \end{bmatrix} = \underline{\mathbf{T}}^\top(\underline{x})\underline{\mathbf{J}}(\underline{x})\underline{\mathbf{T}}(\underline{x})$$

Lösung (2):

•
$$\underline{\mathbf{T}}(\underline{x}) = \begin{bmatrix} \cos\left(\phi(\underline{x})\right) & \sin\left(\phi(\underline{x})\right) \\ -\sin\left(\phi(\underline{x})\right) & \cos\left(\phi(\underline{x})\right) \end{bmatrix}$$

•
$$0 = \frac{1}{2}(J_{11} - J_{22})\sin 2\phi + J_{12}\cos 2\phi$$

•
$$\tan\left(2\phi(\underline{x})\right) = \frac{2J_{12}(\underline{x})}{J_{22}(\underline{x}) - J_{11}(\underline{x})}$$

Lösung (2):

•
$$\underline{\mathbf{T}}(\underline{x}) = \begin{bmatrix} \cos\left(\phi(\underline{x})\right) & \sin\left(\phi(\underline{x})\right) \\ -\sin\left(\phi(\underline{x})\right) & \cos\left(\phi(\underline{x})\right) \end{bmatrix}$$

•
$$0 = \frac{1}{2}(J_{11} - J_{22})\sin 2\phi + J_{12}\cos 2\phi$$

•
$$\tan\left(2\phi(\underline{x})\right) = \frac{2J_{12}(\underline{x})}{J_{22}(\underline{x}) - J_{11}(\underline{x})}$$

Lösung (2):

•
$$\underline{\mathbf{T}}(\underline{x}) = \begin{bmatrix} \cos\left(\phi(\underline{x})\right) & \sin\left(\phi(\underline{x})\right) \\ -\sin\left(\phi(\underline{x})\right) & \cos\left(\phi(\underline{x})\right) \end{bmatrix}$$

•
$$0 = \frac{1}{2}(J_{11} - J_{22})\sin 2\phi + J_{12}\cos 2\phi$$

•
$$\tan\left(2\phi(\underline{x})\right) = \frac{2J_{12}(\underline{x})}{J_{22}(\underline{x}) - J_{11}(\underline{x})}$$

Realisierung:

•
$$\tan(2\underline{\Phi}) = \left[2\underline{\mathbf{B}} * \left((\underline{\mathbf{D}}_p * \underline{\mathbf{I}}^*) \cdot (\underline{\mathbf{D}}_q * \underline{\mathbf{I}}^*)\right)\right] \div \left[\underline{\mathbf{B}} * \left((\underline{\mathbf{D}}_q * \underline{\mathbf{I}}^*) \cdot (\underline{\mathbf{D}}_q * \underline{\mathbf{I}}^*) - (\underline{\mathbf{D}}_p * \underline{\mathbf{I}}^*) \cdot (\underline{\mathbf{D}}_p * \underline{\mathbf{I}}^*)\right)\right]$$

Lokalisationsergebnisse (a)

«Autor» im Außenbereich auf ca. 1,0m

Farbbild	Kontur	Hautfarbe	Gesicht	Selektion	
THE COMME			•		0. Ebene (ca. 2,0m)
	CON	/SE 178	•	.=.	1. Ebene (ca. 1,4m)
HIE	100	MI TE		•	2. Ebene Tabelle (ca. 1,0m)
		ART 18		•	3. Ebene (ca. 0,7m)
	4600	100			4. Ebene (ca. 0,5m)

Lokalisationsergebnisse (b)

«Autor» im Außenbereich auf ca. 1,5m

Farbbild	Kontur	Hautfarbe	Gesicht	Selektion	
		en F		L	0. Ebene (ca. 2,0m)
	一河	· 经基础	•	7	1. Ebene (ca. 1,4m)
	10092	CH.F.		4	2. Ebene Tabelle (ca. 1,0m)
				-	3. Ebene (ca. 0,7m)
	-(600	100		,	4. Ebene (ca. 0,5m)

Lokalisationsergebnisse (c)

«Christoph» im Innenbereich auf ca. 0,5m

Farbbild	Kontur	Hautfarbe	Gesicht	Selektion	
			•		0. Ebene (ca. 2,0m)
	1 1 1 1 1 1 1 1 1 1 1 1 1 1 1 1 1 1 1	Section 18		-	1. Ebene (ca. 1,4m)
		E		F	2. Ebene Tabelle (ca. 1,0m)
	16	E-15.8		+ .	3. Ebene (ca. 0,7m)
	min 9.	6-13		-	4. Ebene (ca. 0,5m)

Lokalisationsergebnisse (d)

«Christoph» im Innenbereich auf ca. 2,0m

Farbbild	Kontur	Hautfarbe	Gesicht	Selektion	
			•	-	0. Ebene (ca. 2,0m)
	W. Alt	4	•	+	1. Ebene (ca. 1,4m)
	1 10	4.		-	2. Ebene Tabelle (ca. 1,0m)
四种是	2336	. f.			3. Ebene (ca. 0,7m)
00	-36	1			4. Ebene (ca. 0,5m)

Skalierungseigenschaften (a)

Gesichtsdetektion für «Christoph»

Ebene	Skalierung	erf. Bereich [cm]	Ø [cm]
4	2^{-2}	40 60	50,0
3	$2^{-\frac{3}{2}}$	62 84	73,0
2	2^{-1}	86114	100,0
1	$2^{-\frac{1}{2}}$	125158	141,5
O	20	177214	195,5

Skalierungseigenschaften (b)

Konturdetektion für «Christoph»

Ebene	Skalierung	erf. Bereich [cm]	Ø [cm]
4	2^{-2}	40 65	52,5
3	$2^{-\frac{3}{2}}$	55 90	72,5
2	2^{-1}	80130	105,0
1	$2^{-\frac{1}{2}}$	120170	145,0
O	20	160220	190,0